

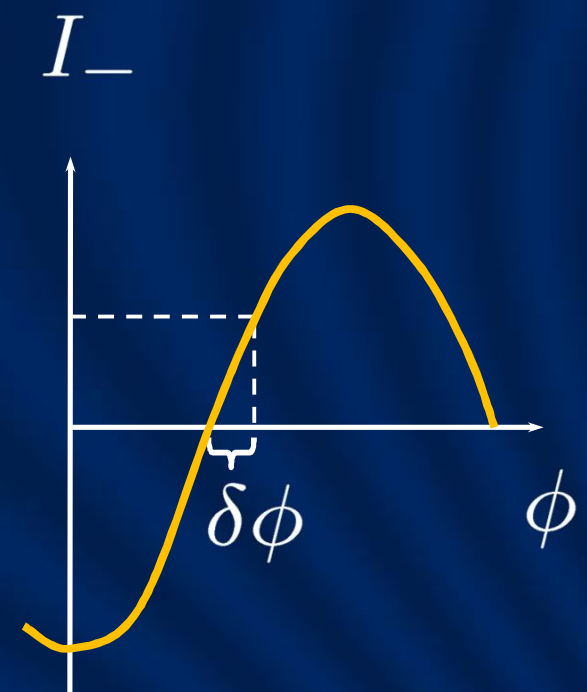
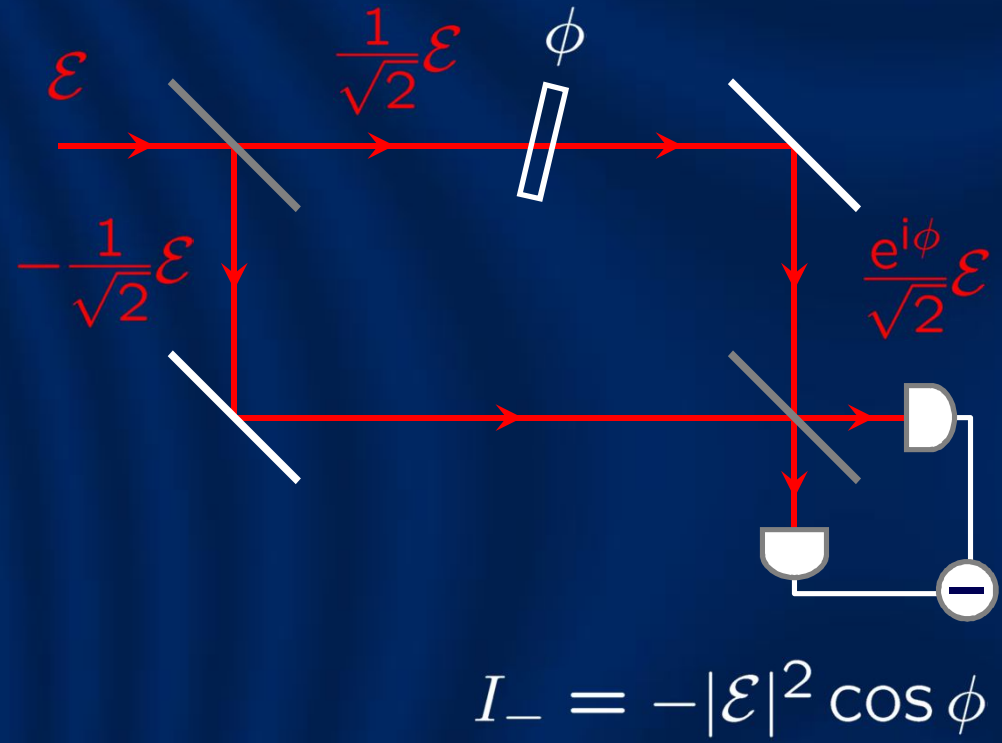
# Introduction to Quantum Metrology

---

**Konrad Banaszek**  
*Faculty of Physics  
University of Warsaw  
Poland*

International Program  
on Quantum Information  
Bhubaneswar, 17-28 February 2014

# Phase measurement

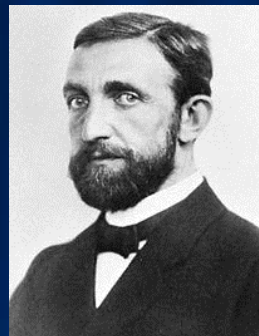


# Photoelectric effect

## 9. Ueber die lichtelektrische Wirkung; von P. Lenard.

(Hierzu Taf. I, Figg. 1 u. 2.)

In einer früheren Mitteilung habe ich gezeigt, dass ultraviolettes Licht, das auf Körper trifft, Kathodenstrahlung aus denselben veranlassen kann.<sup>1)</sup> Diese Erzeugung von Kathodenstrahlen erwies sich unabhängig vom Vorhandensein eines Gases; sie ging, im Gegensatz zur früher allein bekannten Erzeugungsart in Entladungsrohren, auch im äussersten Vacuum vor sich.<sup>2)</sup> Charakteristisch war es, wie im Vacuum gefunden wurde, dass elektrische Kräfte diese Erzeugung nicht beeinflussten; ein Ansteigen der Kraft an der negativ ge-



P. Lenard,  
Ann. Physik 8, 149 (1902)

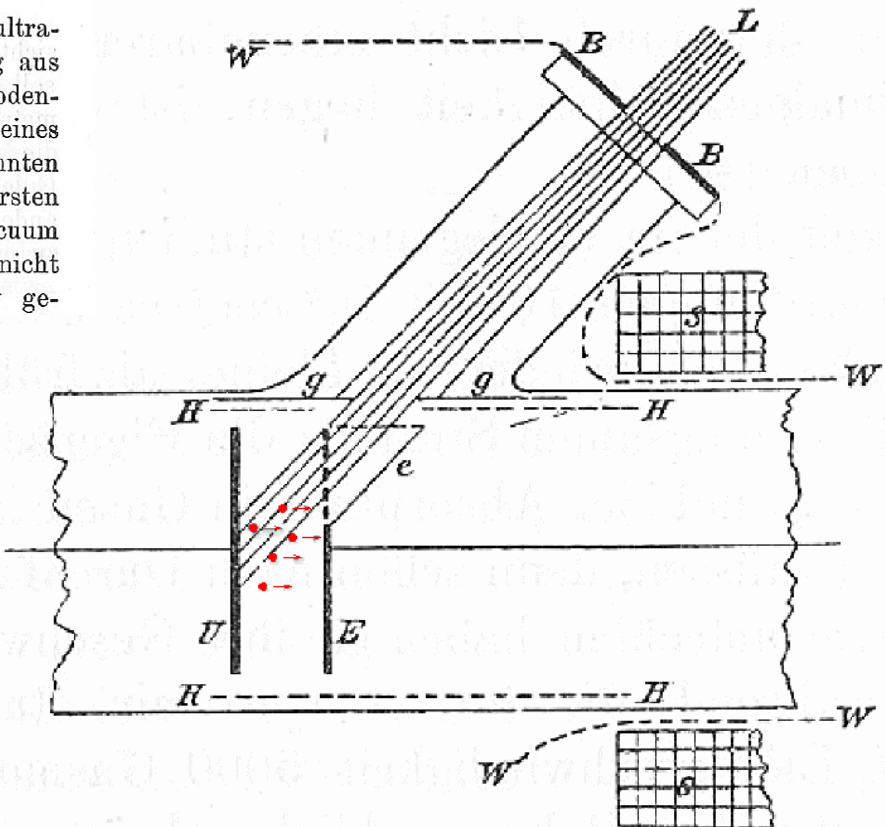
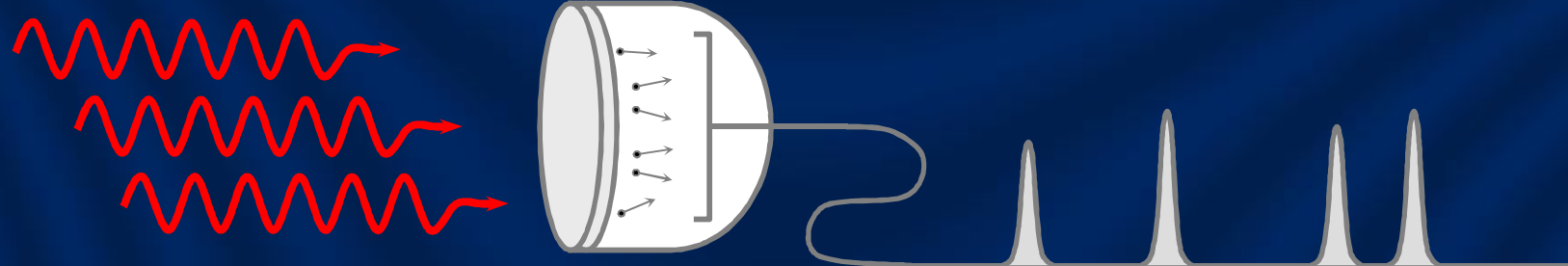


Fig. 1.

# Photons



132

*6. Über einen  
die Erzeugung und Verwandlung des Lichtes  
betreffenden heuristischen Gesichtspunkt;  
von A. Einstein.*

Zwischen den theoretischen Vorstellungen, welche sich die Physiker über die Gase und andere ponderable Körper gebildet haben, und der Maxwellschen Theorie der elektromagnetischen Prozesse im sogenannten leeren Raum besteht ein tiefgreifender formaler Unterschied. Während wir uns nämlich den Zustand eines Körpers durch die Lagen und Geschwindigkeiten einer zwar sehr großen, jedoch endlichen Anzahl von Atomen und Elektronen für vollkommen bestimmt ansehen, bedienen wir uns zur Bestimmung des elektromagnetischen Zustandes eines Raumes kontinuierlicher räumlicher Funktionen, so daß also eine endliche Anzahl von Größen nicht als genügend anzusehen ist zur vollständigen Festlegung des elektromagnetischen Zustandes eines Raumes. Nach der

**§ 8. Über die Erzeugung von Kathodenstrahlen durch Belichtung fester Körper.**

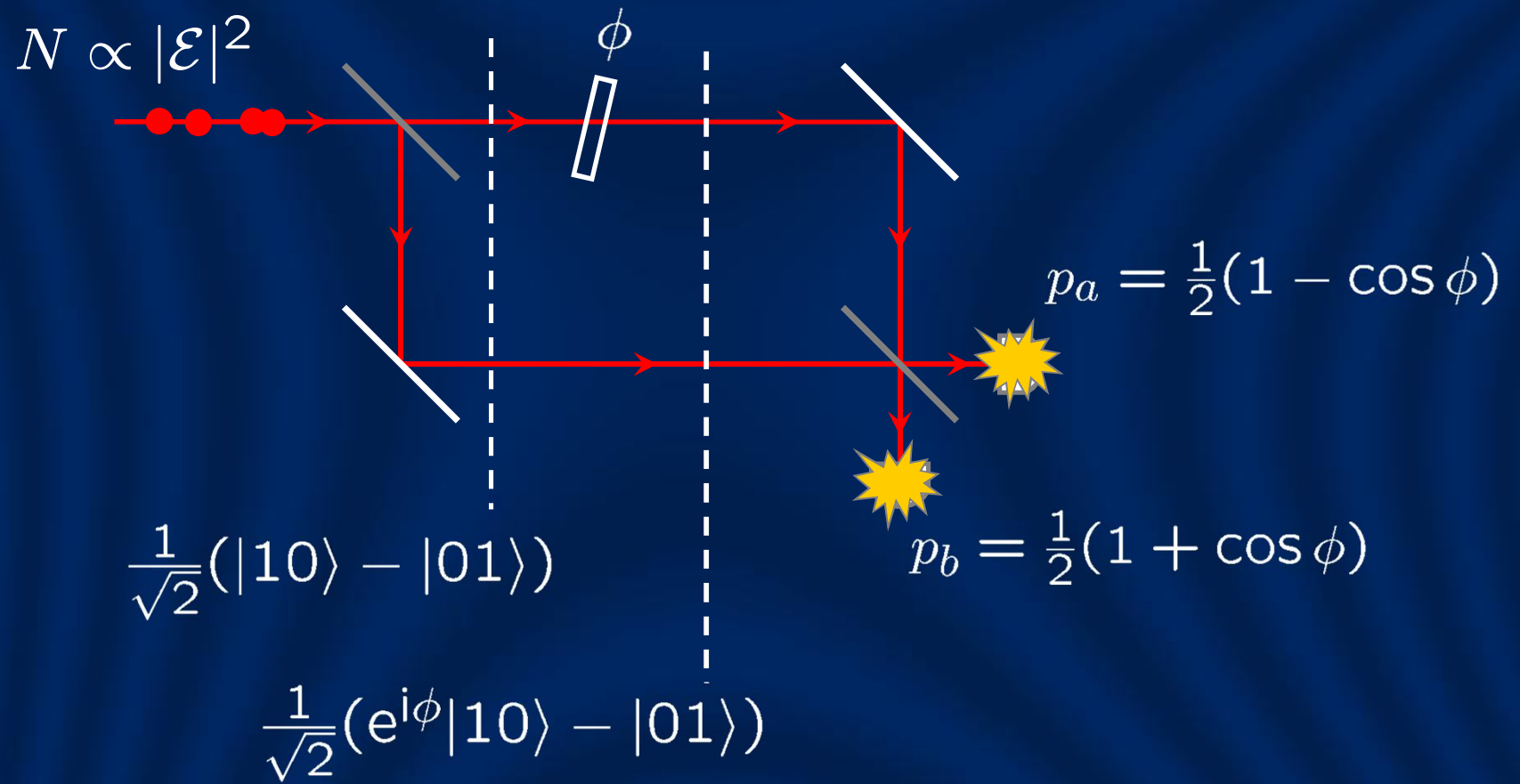
Die übliche Auffassung, daß die Energie des Lichtes kontinuierlich über den durchstrahlten Raum verteilt sei, findet bei dem Versuch, die lichtelektrischen Erscheinungen zu erklären, besonders große Schwierigkeiten, welche in einer bahnbrechenden Arbeit von Hrn. Lenard dargelegt sind.<sup>1)</sup>

Nach der Auffassung, daß das erregende Licht aus Energiequanten von der Energie  $(R/N)\beta$  bestehe, läßt sich die Erzeugung von Kathodenstrahlen durch Licht folgendermaßen auffassen. In die oberflächliche Schicht des Körpers dringen Energiequanten ein, und deren Energie verwandelt sich wenigstens zum Teil in kinetische Energie von Elektronen. Die einfachste Vorstellung ist die, daß ein Lichtquant seine ganze Energie an ein einziges Elektron abgibt; wir wollen annehmen, daß dies vorkomme. Es soll jedoch nicht ausgeschlossen sein, daß Elektronen die Energie von Lichtquanten nur teilweise aufnehmen. Ein im Innern des Körpers mit kinetischer Energie

1) P. Lenard, Ann. d. Phys. 8. p. 169 u. 170. 1902.

Annalen der Physik. IV. Folge. 17.

# Quantum picture



# Phase estimate

Let  $\phi = \frac{\pi}{2} + \delta\phi$

Our task is to guess small  $\delta\phi$ .

Photocount difference:

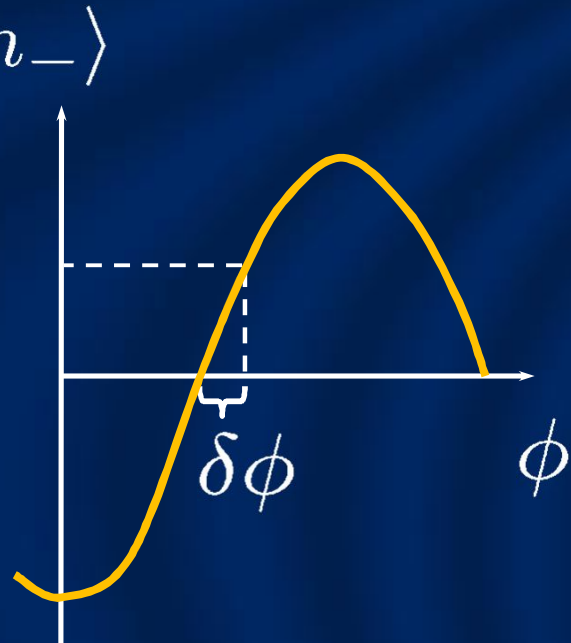
$$n_- = n_a - n_b$$

Statistical average:

$$\langle n_- \rangle = -N \cos\left(\frac{\pi}{2} + \delta\phi\right) \approx N\delta\phi$$

Estimation procedure:

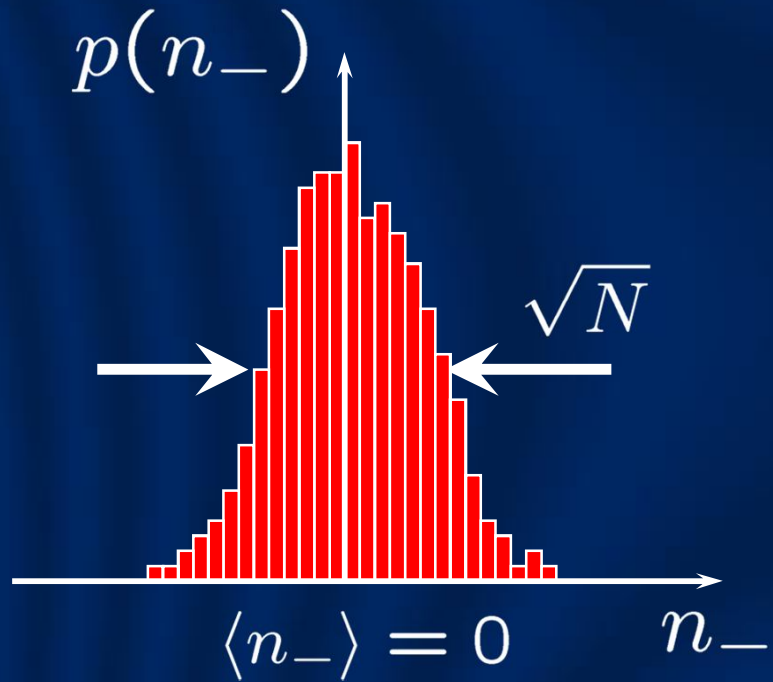
$$\delta\phi = \frac{n_-}{N}$$



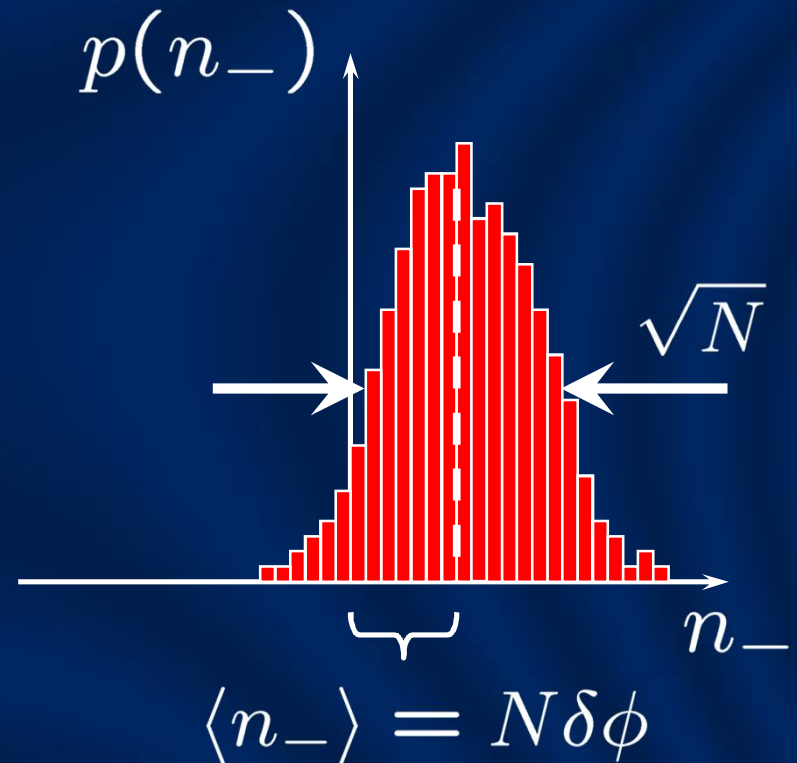
Individual realization  
of the experiment  
with  $\bar{n}$  photons!

# Shot noise

No phase shift  $\delta\phi = 0$



Phase shift  $\delta\phi \neq 0$



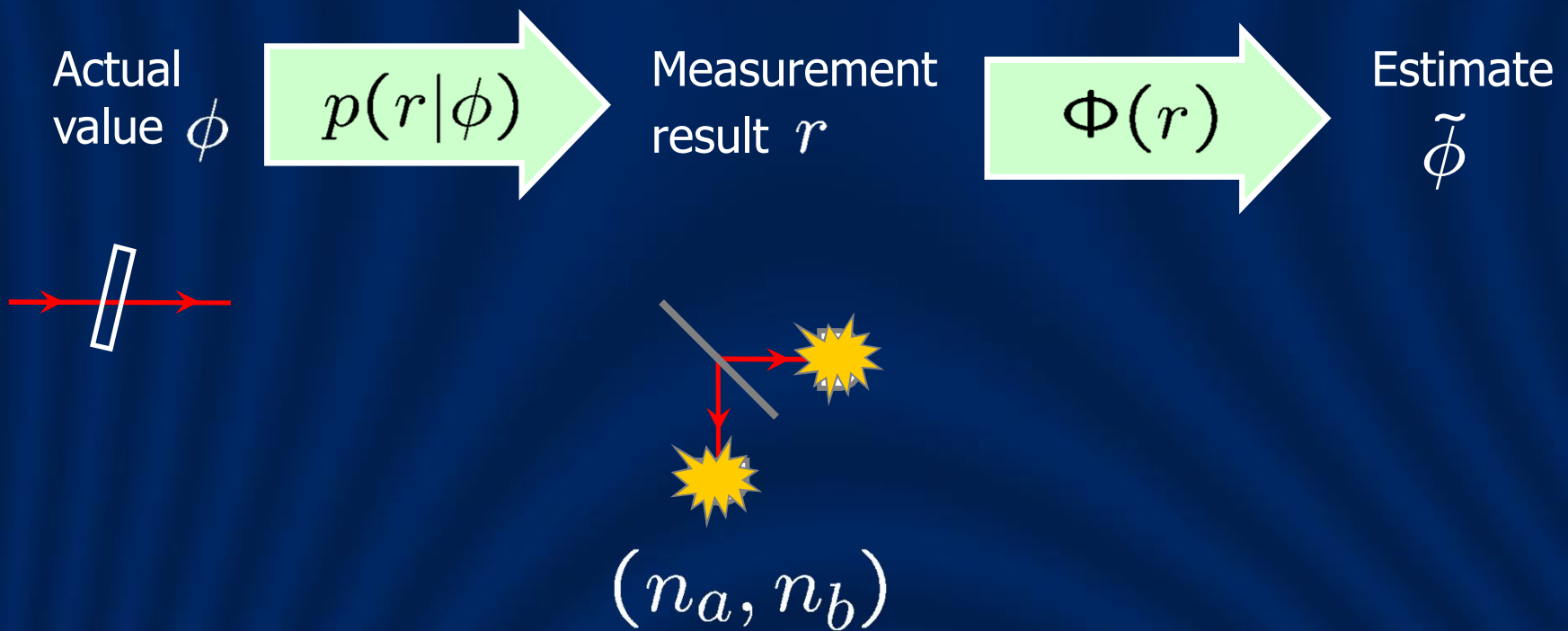
To identify  
a phase shift  $N\delta\phi \gtrsim \sqrt{N}$

...hence the  
phase resolution  $\delta\phi \gtrsim \frac{1}{\sqrt{N}}$

# Estimation quality

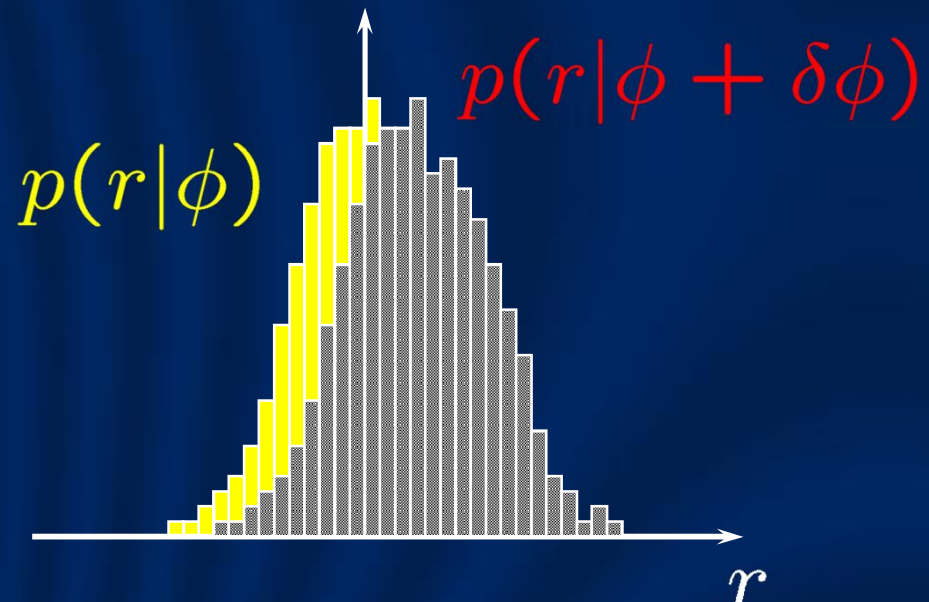
Estimation procedure:

$$\Phi(n_a, n_b) = \frac{\pi_-}{2N} + \frac{n_a - n_b}{N}$$



# Fisher information

$$F(\phi) = \sum_r p(r|\phi) \left( \frac{\partial}{\partial \phi} \ln p(r|\phi) \right)^2$$



*Cramér-Rao bound:*  
for unbiased estimators

$$\Delta \tilde{\phi} \geq \frac{1}{\sqrt{F(\phi)}}$$

# Proof

---

Cauchy-Schwarz inequality:

$$\left(\sum_r A_r^2\right) \left(\sum_r B_r^2\right) \geq (\sum_r A_r B_r)^2$$

Take

$$A_r = \sqrt{p(r|\phi)}[\Phi(r) - \phi], B_r = \frac{1}{\sqrt{p(r|\phi)}} \frac{\partial}{\partial \phi} p(r|\phi)$$

and on the RHS use the assumption of *unbiasedness*:

$$\sum_r p(r|\phi)\Phi(r) = \phi$$

# Additivity

---

When variables are statistically independent

$$p(r_1, r_2 | \phi) = p(r_1 | \phi)p(r_2 | \phi)$$

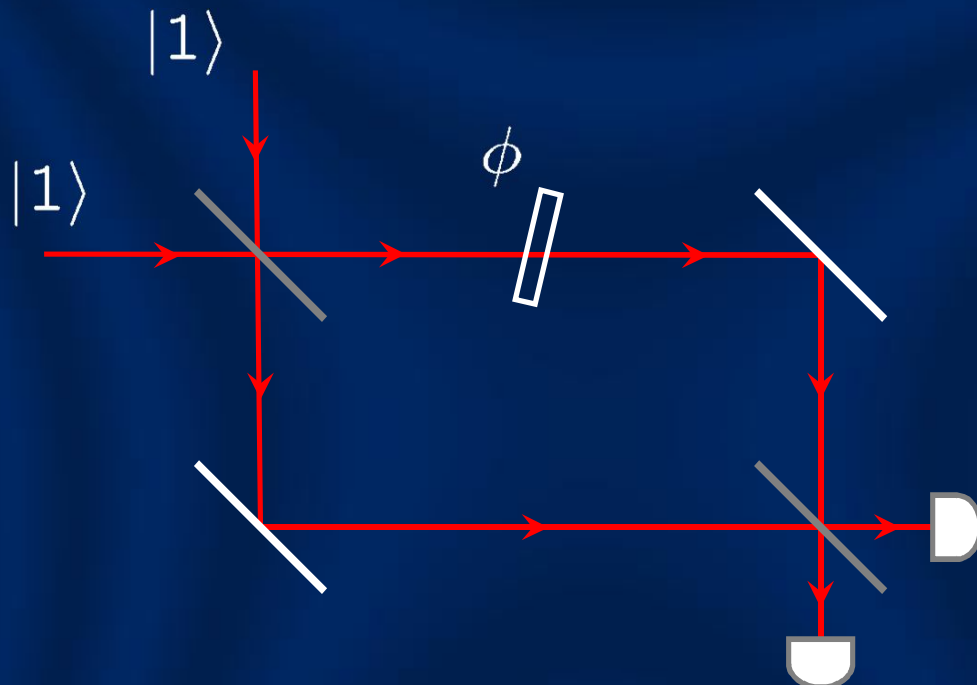
the Fisher information is additive:

$$F(\phi) = F_1(\phi) + F_2(\phi)$$

For one photon sent into the Mach-Zehnder interferometer  $F(\phi) = 1$ . Using  $N$  photons yields  $F(\phi) = N$  and the precision is bounded by the *shot noise limit*:

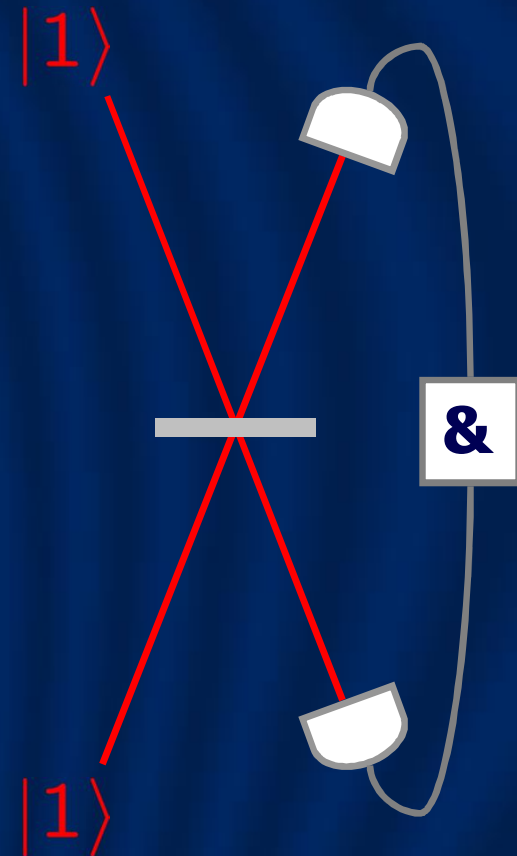
$$\Delta\tilde{\phi} \geq \frac{1}{\sqrt{N}}$$

# Two-photon interferometry



?

# Two-photon interference



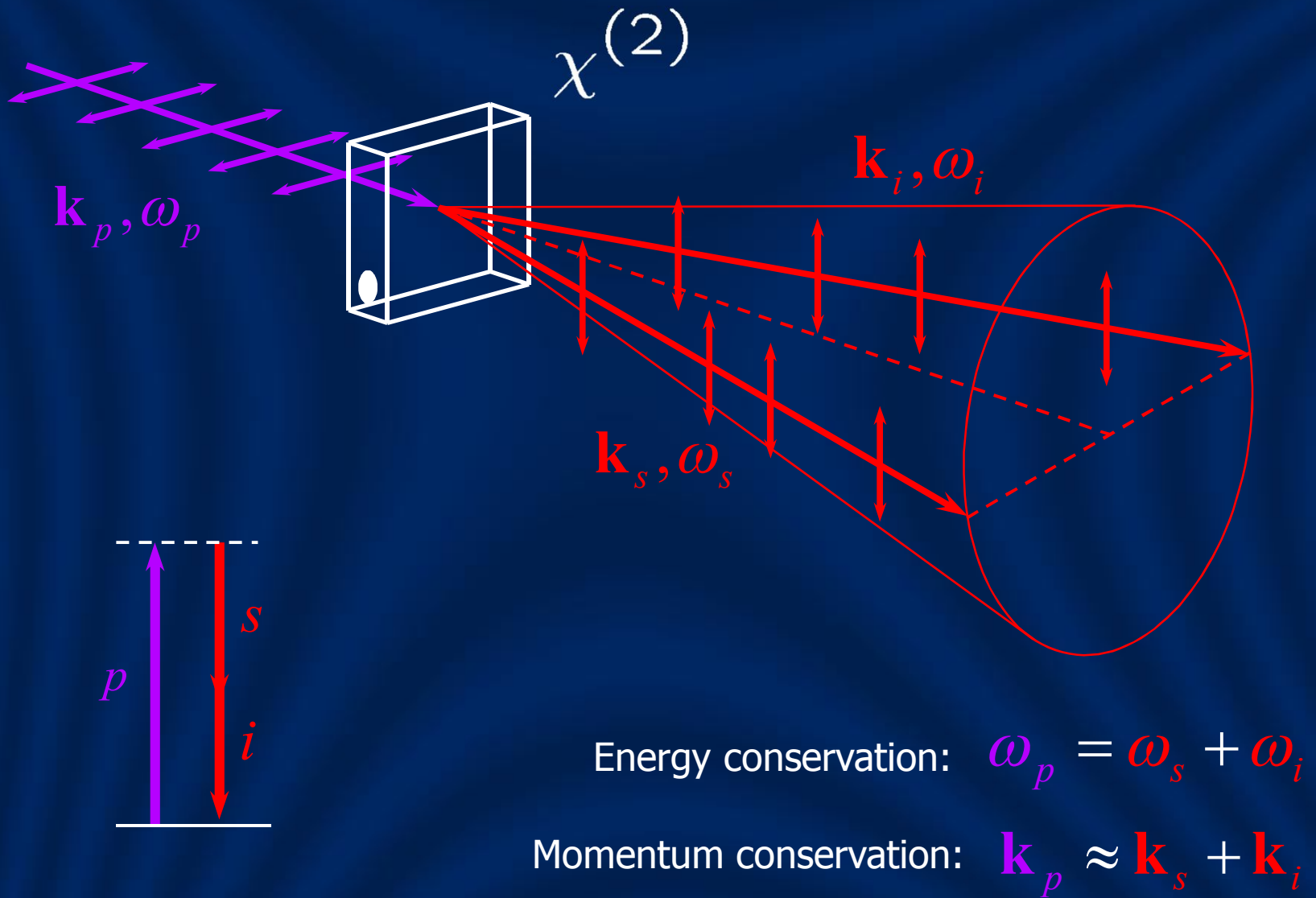
Probability amplitudes:

$$\frac{1}{2} \left[ \begin{array}{c} \text{Diagram 1: } \diagup \quad \diagdown \\ \hline \end{array} - \begin{array}{c} \text{Diagram 2: } \diagdown \quad \diagup \\ \hline \end{array} + \begin{array}{c} \text{Diagram 3: } \diagup \quad \diagup \\ \hline \end{array} - \begin{array}{c} \text{Diagram 4: } \diagdown \quad \diagdown \\ \hline \end{array} \right]$$

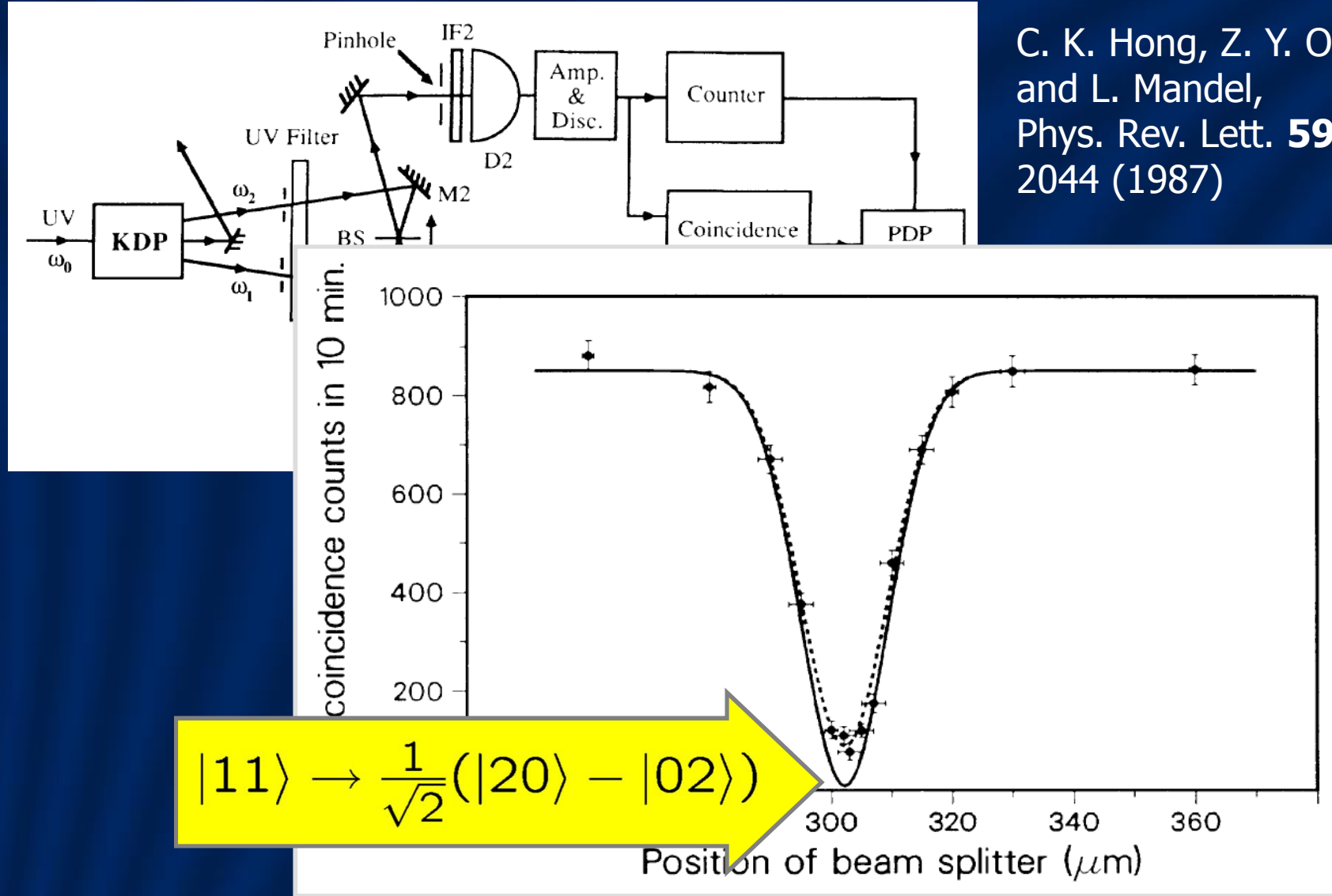
$$|11\rangle \rightarrow \frac{1}{\sqrt{2}}(|20\rangle - |02\rangle)$$

**Only if photons are  
*indistinguishable!***

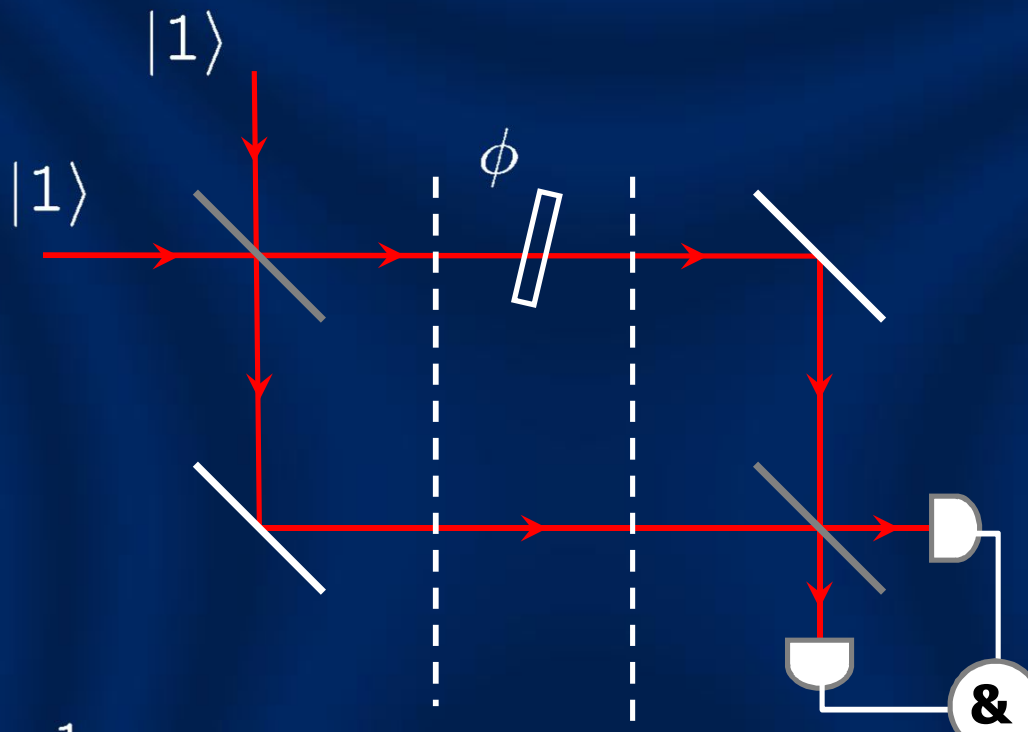
# Parametric down-conversion



# Hong-Ou-Mandel experiment



# Two-photon phase shift



$$\frac{1}{\sqrt{2}}(|20\rangle - |02\rangle)$$

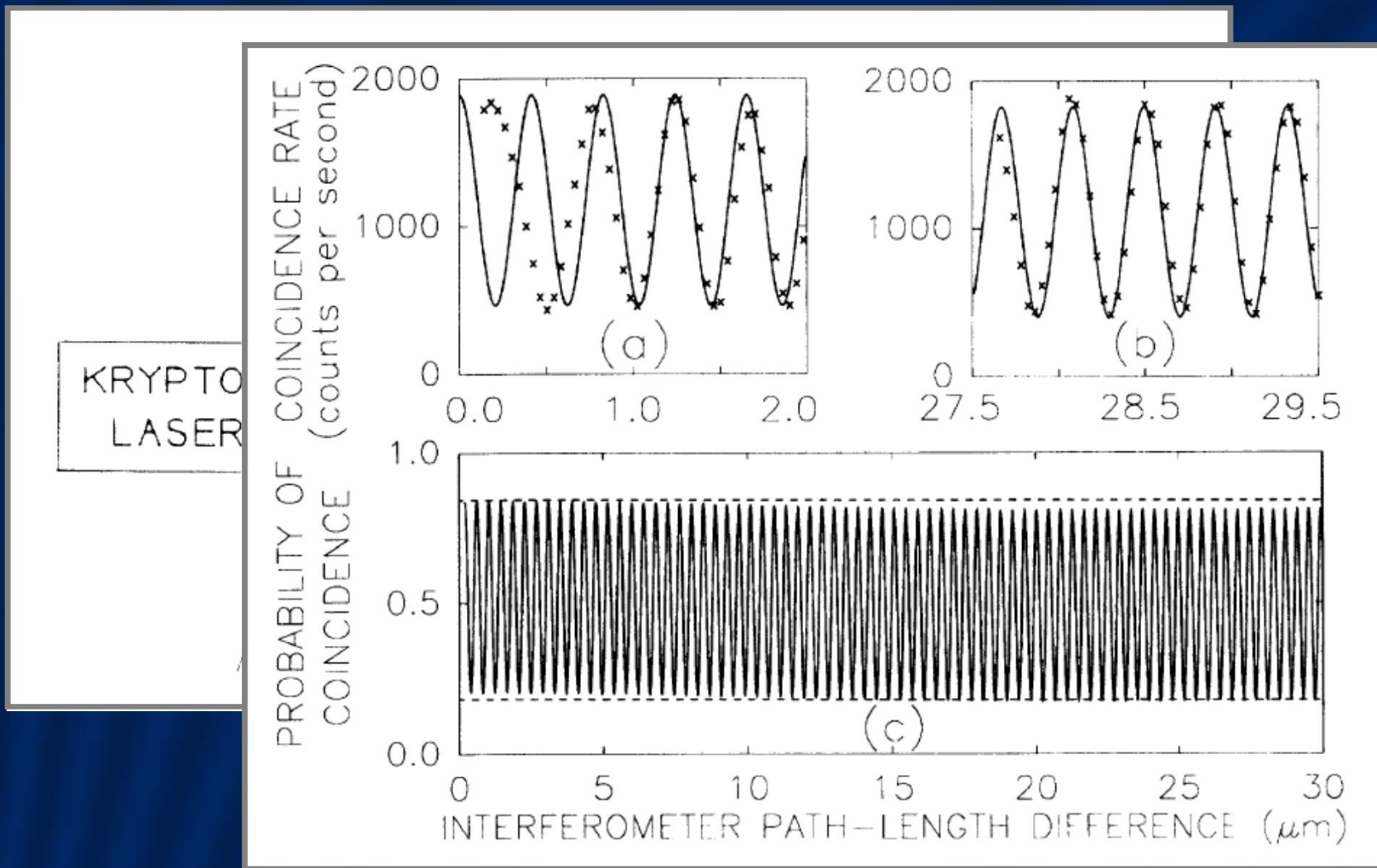
$$\frac{1}{\sqrt{2}}(e^{2i\phi}|20\rangle - |02\rangle)$$

$$p_{11} = \frac{1}{2}(1 + \cos 2\phi)$$

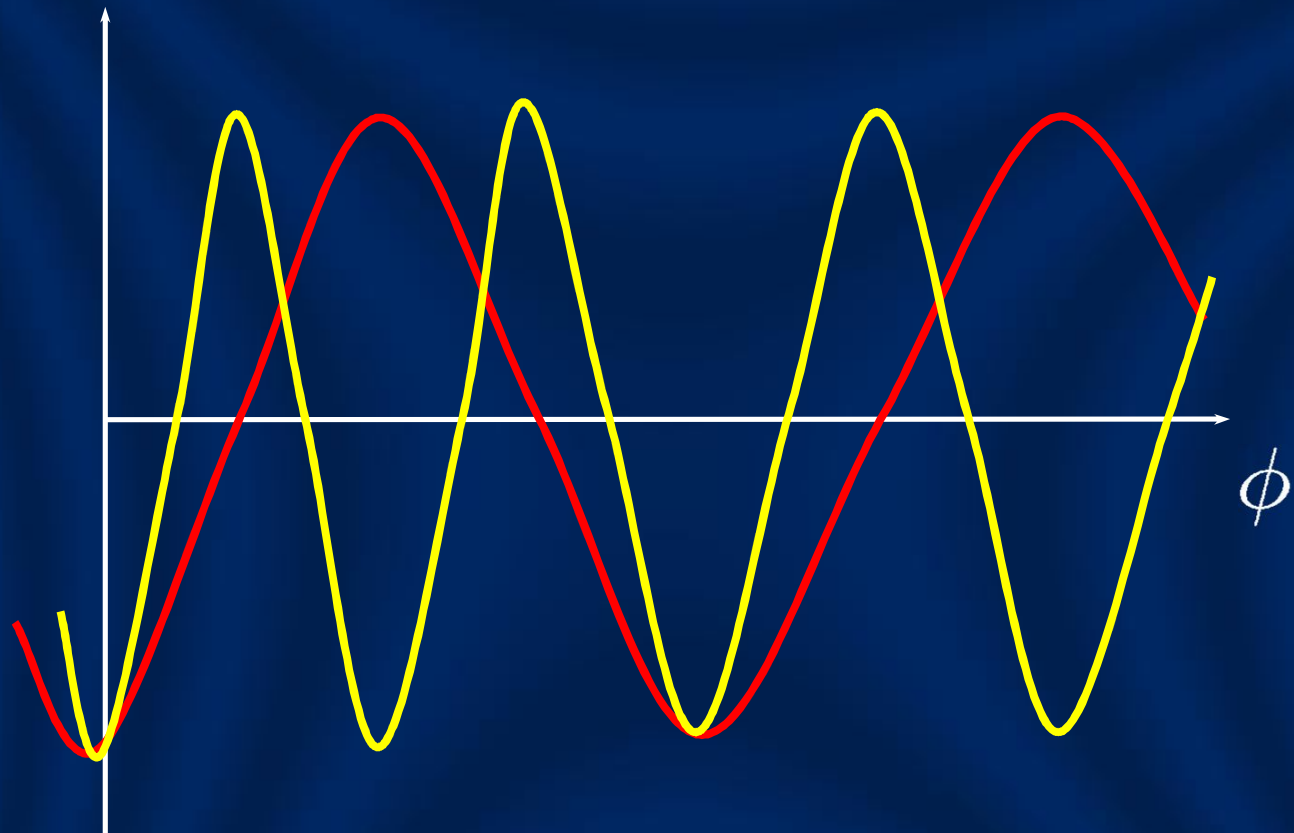
$$p_{02} + p_{20} = \frac{1}{2}(1 - \cos 2\phi)$$

# Observation

J. G. Rarity *et al.*, Phys. Rev. Lett. **65**, 1348 (1990)



# Fringe spacing



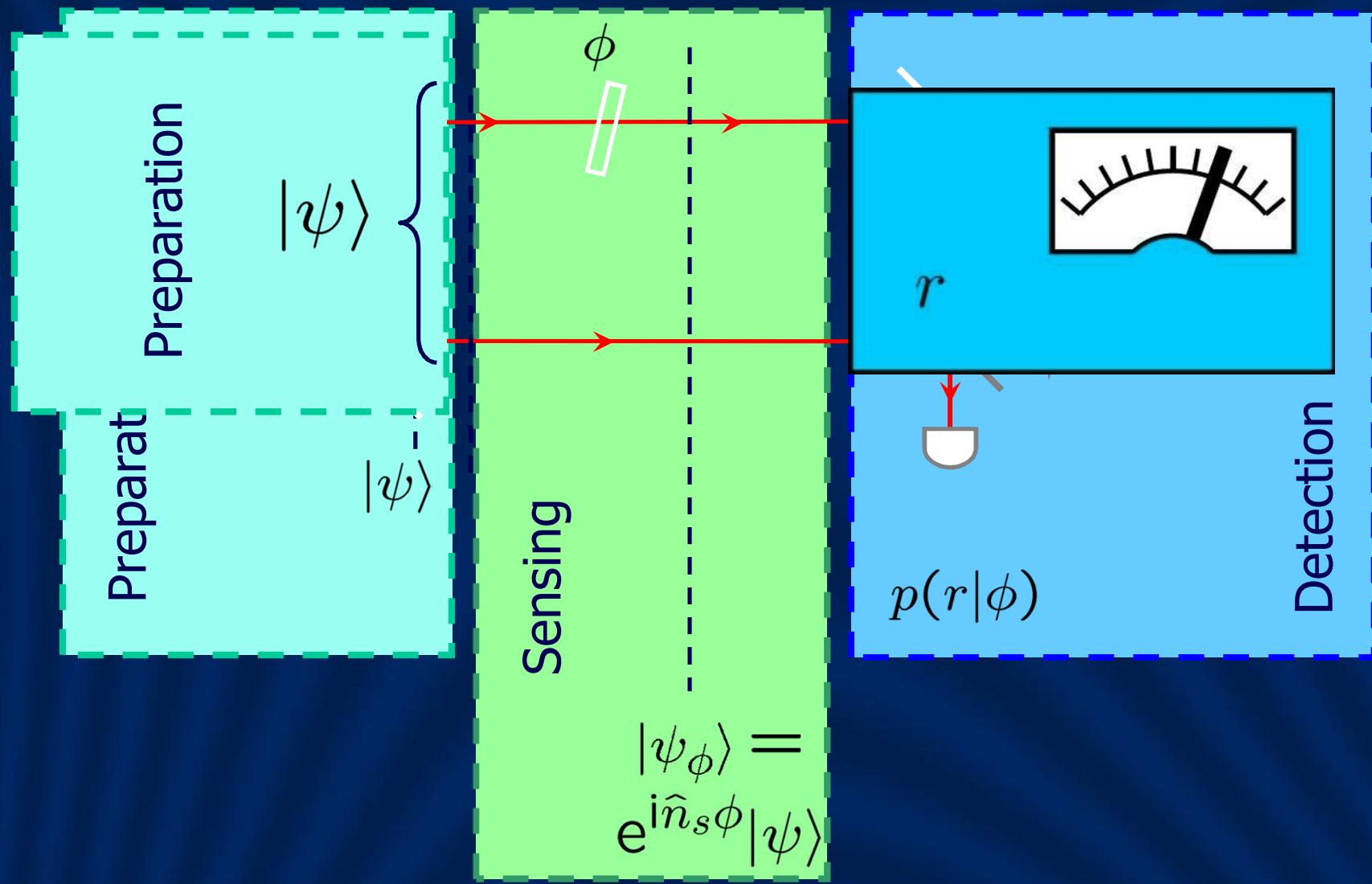
$$|\psi\rangle = \frac{1}{\sqrt{2}}(|10\rangle - |01\rangle)$$

For two copies  $F = 2$

$$|\psi\rangle = \frac{1}{\sqrt{2}}(|20\rangle - |02\rangle)$$

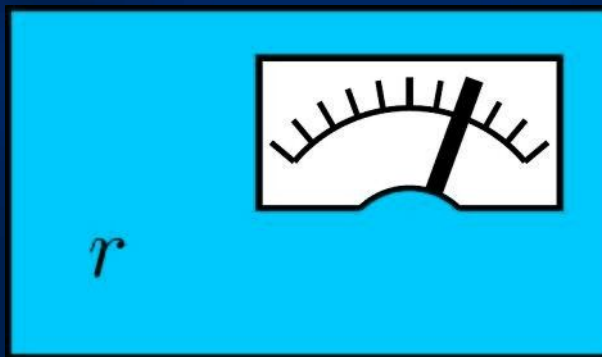
$F = 4$

# General picture



# Quantum measurement

$|\psi_\phi\rangle$



$$\hat{M}_r \geq 0$$

$$\sum_r \hat{M}_r = \hat{1}$$

Result probability:

$$p(r|\phi) = \langle \psi_\phi | \hat{M}_r | \psi_\phi \rangle$$

# Quantum Fisher information

---

*Review:* M. G. A. Paris, Int. J. Quant. Inf. **7**, 125 (2009)

For *any* measurement  $\{\hat{M}_r\}$

$$F(\phi) \leq F_Q(\phi) := 4 \left( \langle \partial_\phi \psi | \partial_\phi \psi \rangle - |\langle \psi_\phi | \partial_\phi \psi \rangle|^2 \right)$$

where

$$|\partial_\phi \psi\rangle = \frac{\partial}{\partial \phi} |\psi_\phi\rangle$$

Quantum Fisher information characterizes "local distinguishability" between states

$$|\psi_\phi\rangle \quad \text{and} \quad |\psi_{\phi+\delta\phi}\rangle \approx |\psi_\phi\rangle + \delta\phi |\partial_\phi \psi\rangle$$

# Symmetric logarithmic derivative

---

Implicit definition

$$\frac{\partial}{\partial \phi} \hat{\varrho}_\phi = \frac{1}{2} (\hat{L}_\phi \hat{\varrho}_\phi + \hat{\varrho}_\phi \hat{L}_\phi)$$

Explicit expression for  $\hat{\varrho}_\phi = |\psi_\phi\rangle\langle\psi_\phi|$ :

$$\begin{aligned} \hat{L}_\phi = 2 & \left[ \left( \hat{I} - |\psi_\phi\rangle\langle\psi_\phi| \right) |\partial_\phi \psi\rangle\langle\psi_\phi| \right. \\ & \left. + |\psi_\phi\rangle\langle\partial_\phi \psi| \left( \hat{I} - |\psi_\phi\rangle\langle\psi_\phi| \right) \right] \end{aligned}$$

Upper bound:

$$\frac{1}{p(r|\phi)} \left( \frac{\partial}{\partial \phi} p(r|\phi) \right)^2 \leq \left| \frac{\text{Tr}[\hat{\varrho}_\phi \hat{M}_r \hat{L}_\phi]}{\sqrt{\text{Tr}(\hat{M}_r \hat{\varrho}_\phi)}} \right|^2$$

# Schwarz inequality

---

$$|\mathrm{Tr}(\hat{A}^\dagger \hat{B})|^2 \leq \mathrm{Tr}(\hat{A}^\dagger \hat{A}) \mathrm{Tr}(\hat{B}^\dagger \hat{B})$$

Take:

$$\hat{A}_r^\dagger = \frac{\sqrt{\hat{\varrho}_\phi} \sqrt{\hat{M}_r}}{\sqrt{\mathrm{Tr}(\hat{M}_r \hat{\varrho}_\phi)}}, \quad \hat{B}_r = \sqrt{\hat{M}_r} \hat{L}_\phi \sqrt{\hat{\varrho}_\phi}$$

Then:

$$\begin{aligned} F(\phi) &\leq \sum_r |\mathrm{Tr}(\hat{A}_r^\dagger \hat{B}_r)|^2 \\ &\leq \mathrm{Tr} \left( \sum_r \hat{A}_r^\dagger \hat{A}_r \right) \mathrm{Tr} \left( \sum_r \hat{B}_r^\dagger \hat{B}_r \right) \\ &= \mathrm{Tr}(\hat{\varrho}_\phi \hat{L}_\phi^2) = F_Q(\phi) \end{aligned}$$

# Phase measurement

---

Transformation of the input state by a phase shifter:

$$|\psi_\phi\rangle = e^{i\hat{n}_s\phi}|\psi\rangle$$

where  $\hat{n}_s$  is operator of the number of photons sent through the phase shifter.

Quantum Fisher information

$$F_Q(\phi) = 4(\Delta n_s)^2$$

is proportional to the *variance* of the photon number in the sensing arm!

# Interferometric Cramér-Rao bound

---

“Heisenberg” uncertainty relation:

$$\Delta\phi \Delta n_s \geq \frac{1}{2}$$

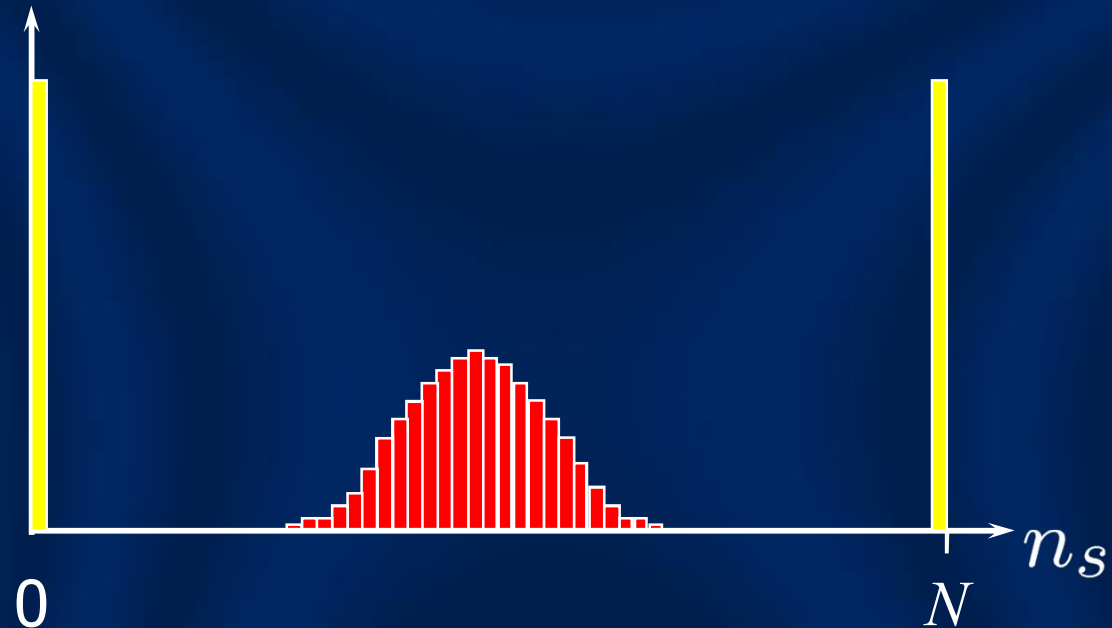
$\Delta n_s$  – photon number uncertainty in the sensing arm

$\Delta\phi$  – precision of phase estimation

*Task:* maximize  $\Delta n_s$  for a fixed total number of photons  $N$ .

# Optimal precision

For the total number of  $N$  photons:



$N$  photons sent to a 50/50 beam splitter yield the shot-noise limit:

$$\Delta\phi = \frac{1}{\sqrt{N}}$$

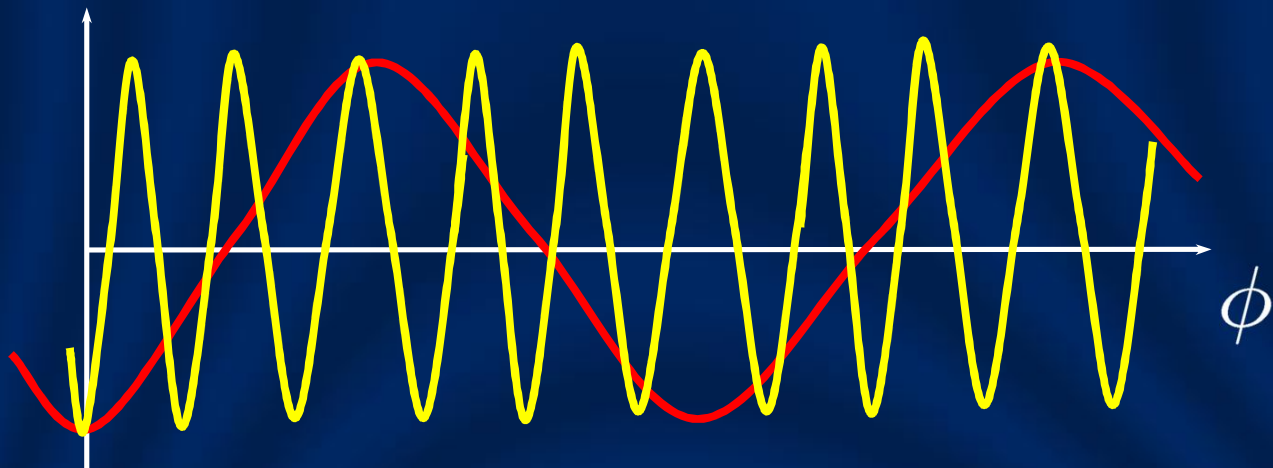
Maximum possible  $\Delta n_s$  defines the *Heisenberg limit*:

$$\Delta\phi = \frac{1}{N}$$

# NOON state

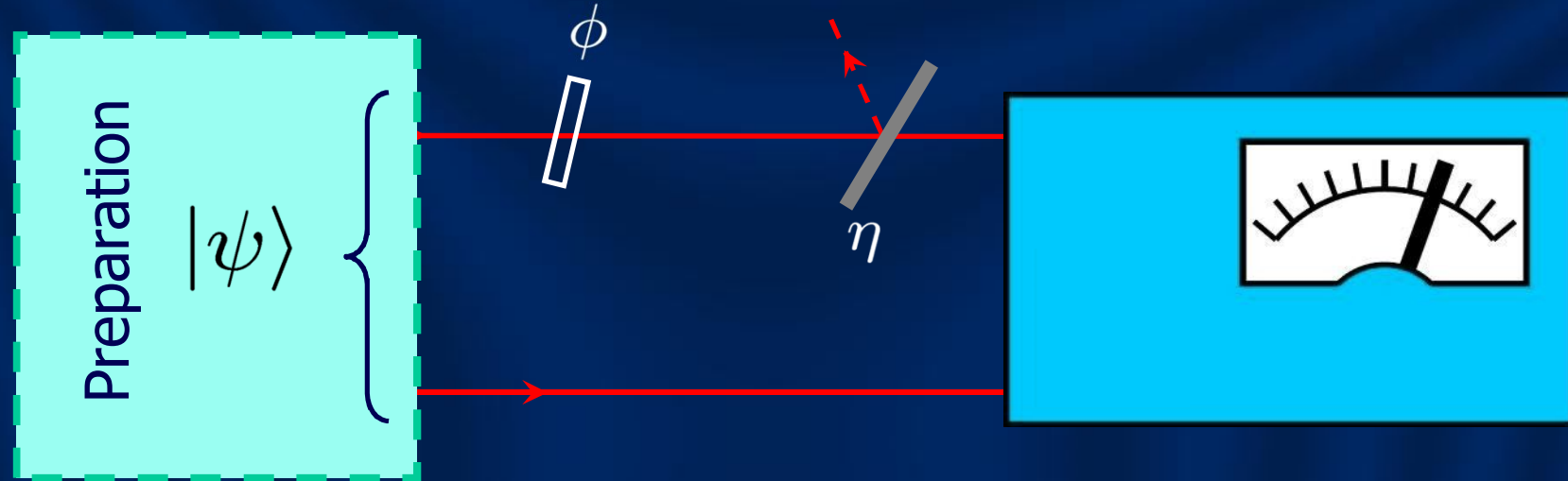
The optimal  $N$  photon state:

$$\begin{aligned} |\Psi_N\rangle &= \frac{1}{\sqrt{2}}(|N0\rangle - |0N\rangle) \\ &\longrightarrow \frac{1}{\sqrt{2}}(e^{iN\phi}|N0\rangle - |0N\rangle) \end{aligned}$$



For a review: V. Giovannetti, S. Lloyd, and L. Maccone, Science **306**, 1330 (2004)

# Losses



If a photon is lost:  $|\Psi_N\rangle \rightarrow e^{iN\phi}|N - 1, 0\rangle$

When no photons are lost:

$$|\Psi_N\rangle \rightarrow \frac{1}{\sqrt{2}}(\sqrt{\eta}^N e^{iN\phi}|NO\rangle - |ON\rangle)$$

M.A. Rubin and S. Kaushik, Phys. Rev. A **75**, 053805 (2007)

G. Gilbert, M. Hamrick, Y.S. Weinstein, J. Opt. Soc. Am. B **25**, 1336 (2008)

# Two-photon case

$$|\psi\rangle = \alpha|20\rangle + \beta|11\rangle + \gamma|02\rangle$$



No photon lost:

$$|\psi_0\rangle = \eta\alpha|20\rangle + \sqrt{\eta}\beta|11\rangle + \gamma|02\rangle$$

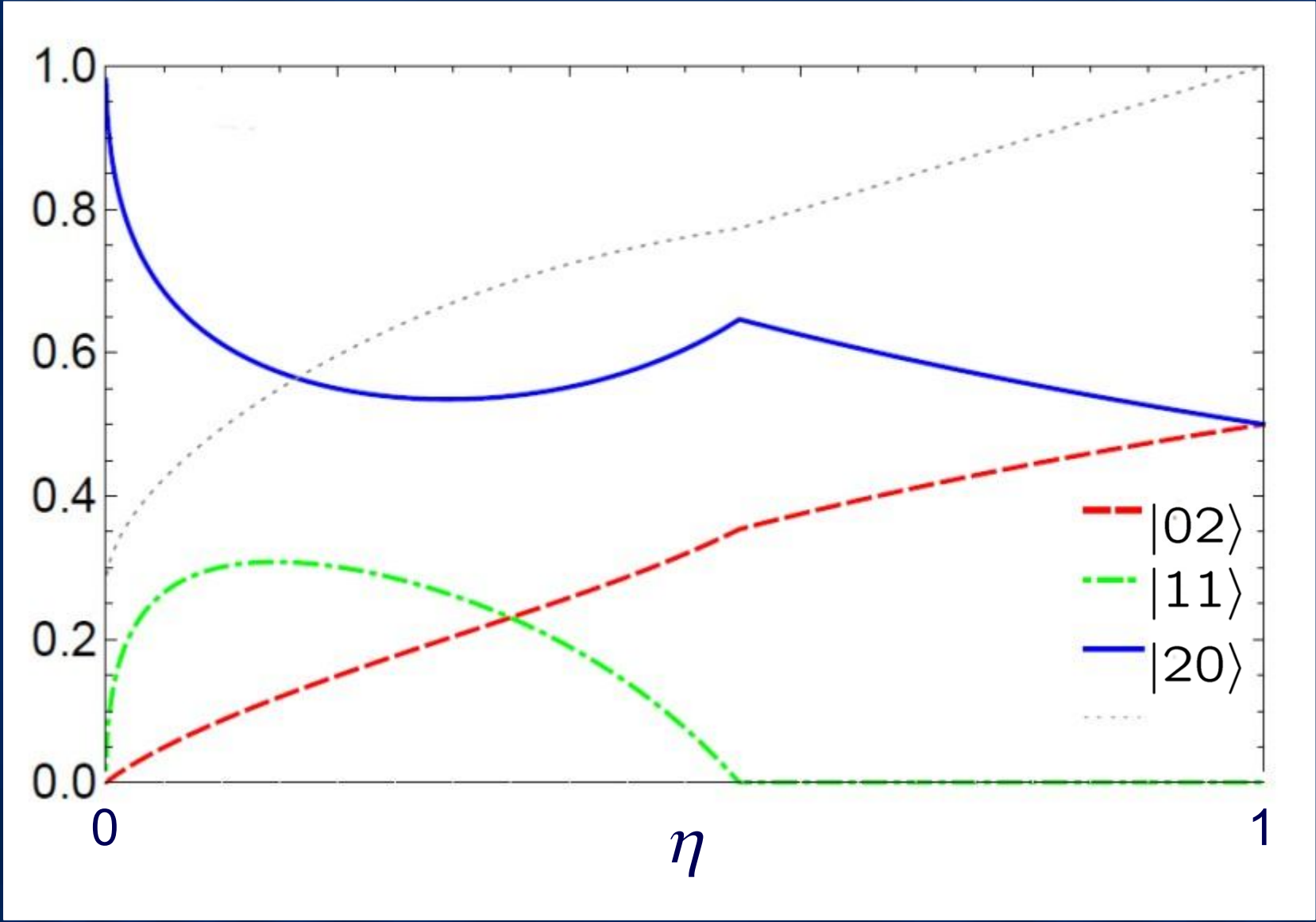
One photon lost:

$$|\psi_1\rangle = \sqrt{2\eta(1-\eta)}\alpha|10\rangle + \sqrt{1-\eta}\beta|01\rangle$$

Two photons lost:

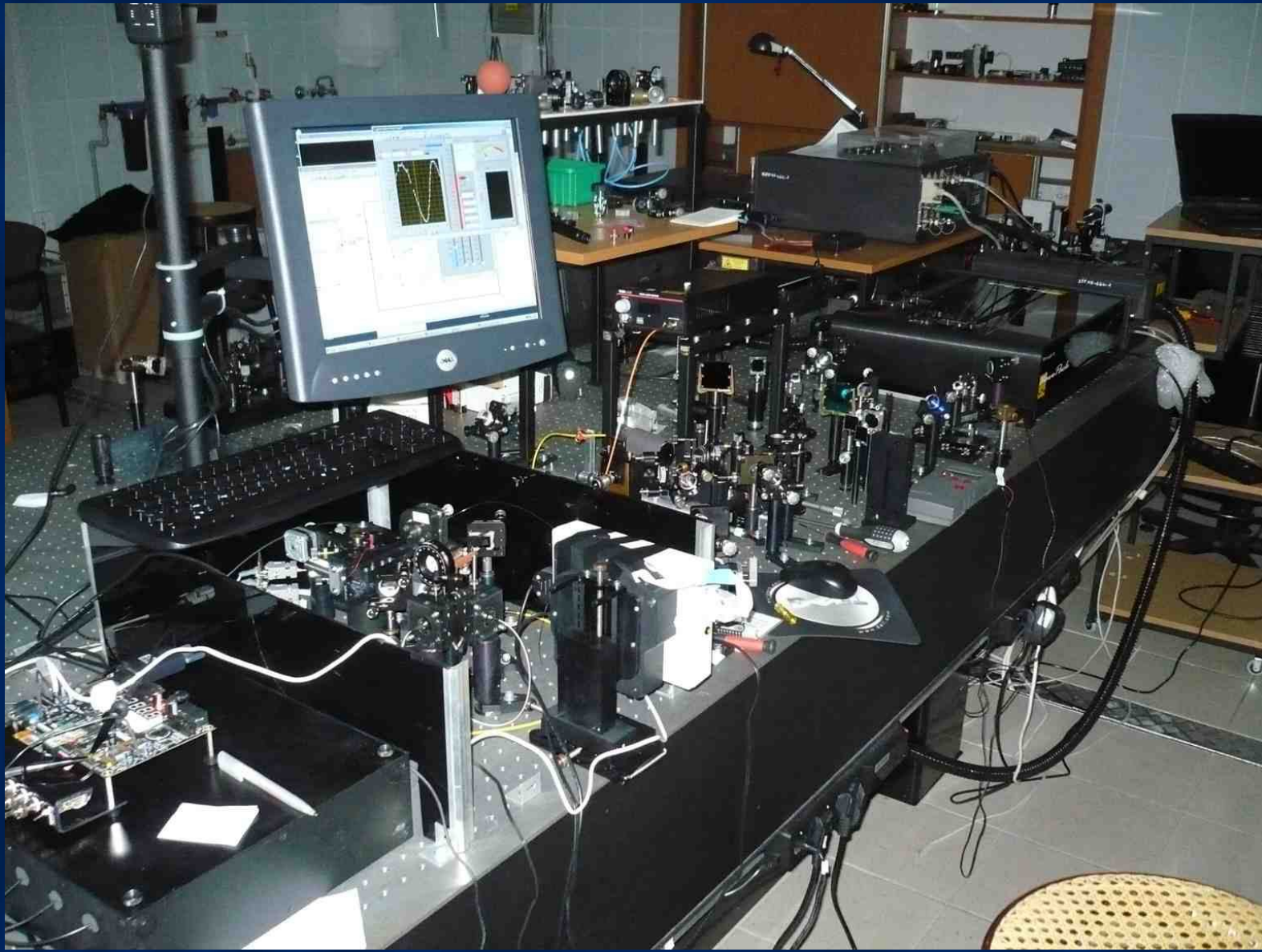
$$|\psi_2\rangle = (1-\eta)\alpha|00\rangle$$

# Weights

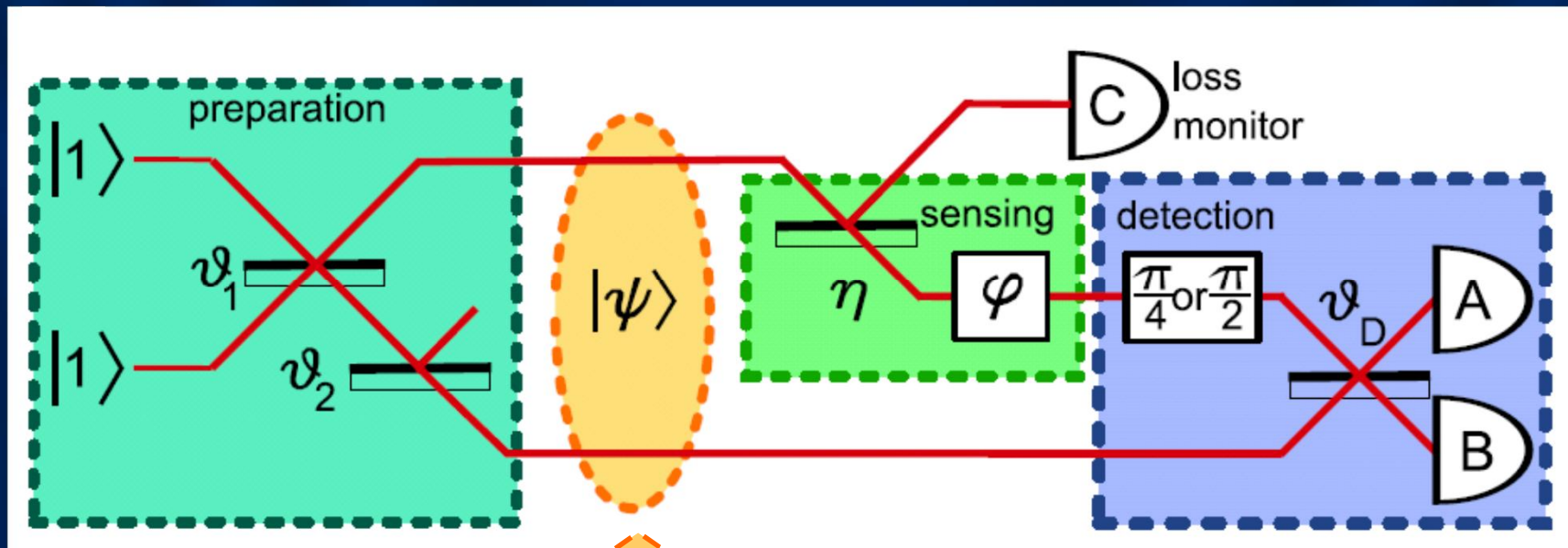


# Lab

---

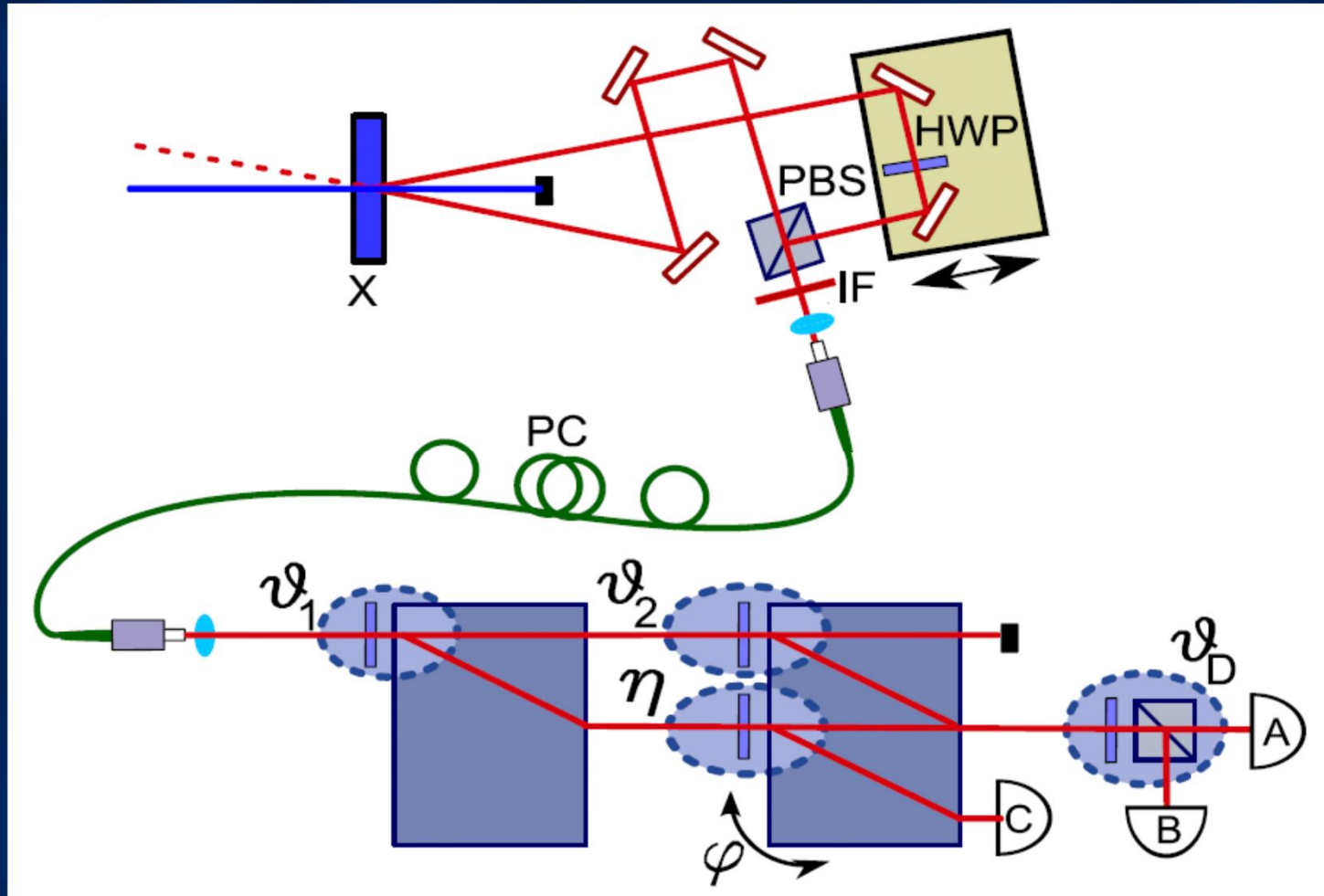


# Schematic

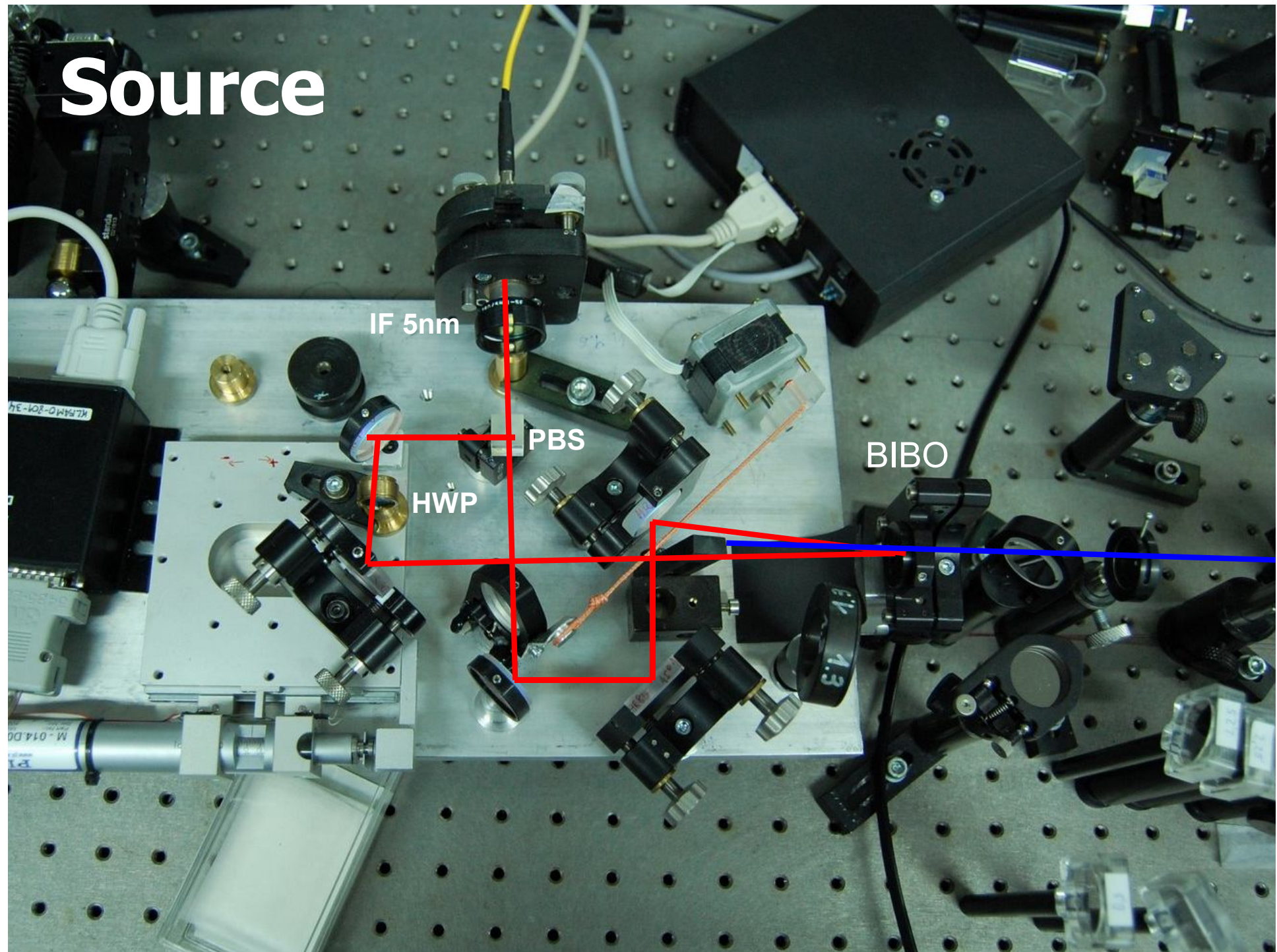


$$\sqrt{2\vartheta_1(1-\vartheta_1)}|20\rangle + \sqrt{\vartheta_2(2\vartheta_1-1)}|11\rangle - \vartheta_2\sqrt{2\vartheta_1(1-\vartheta_1)}|02\rangle$$

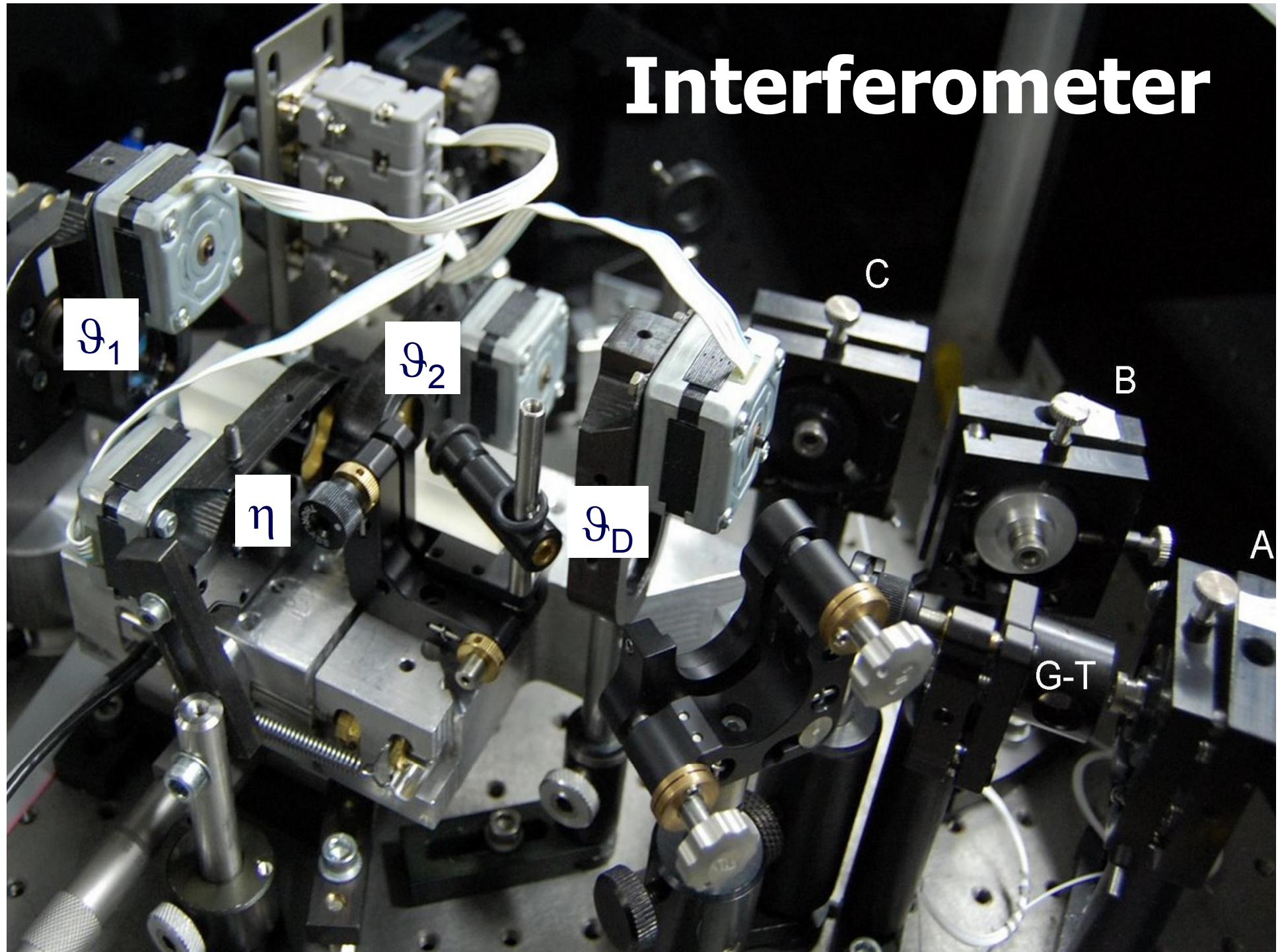
# Realization



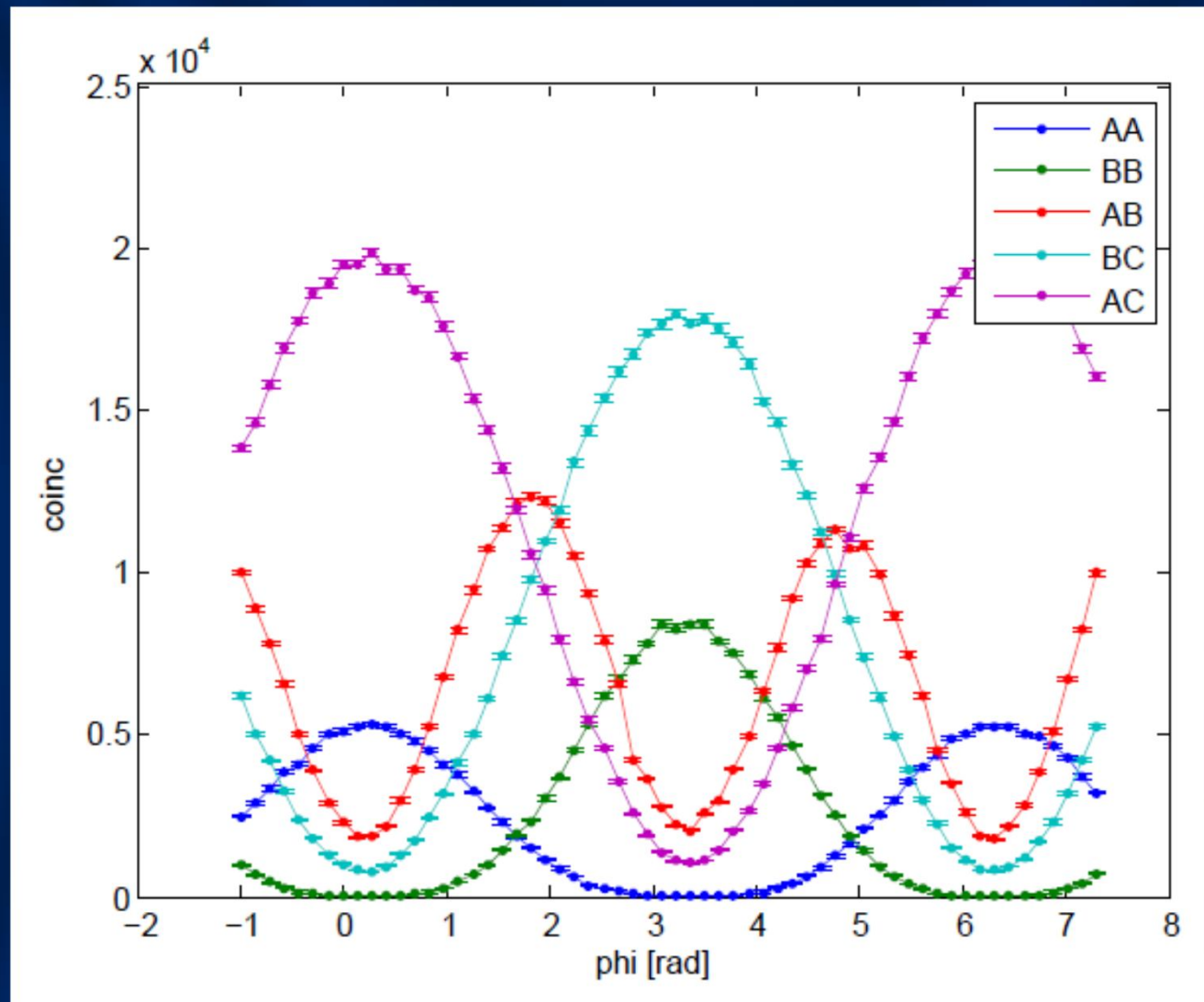
# Source



# Interferometer

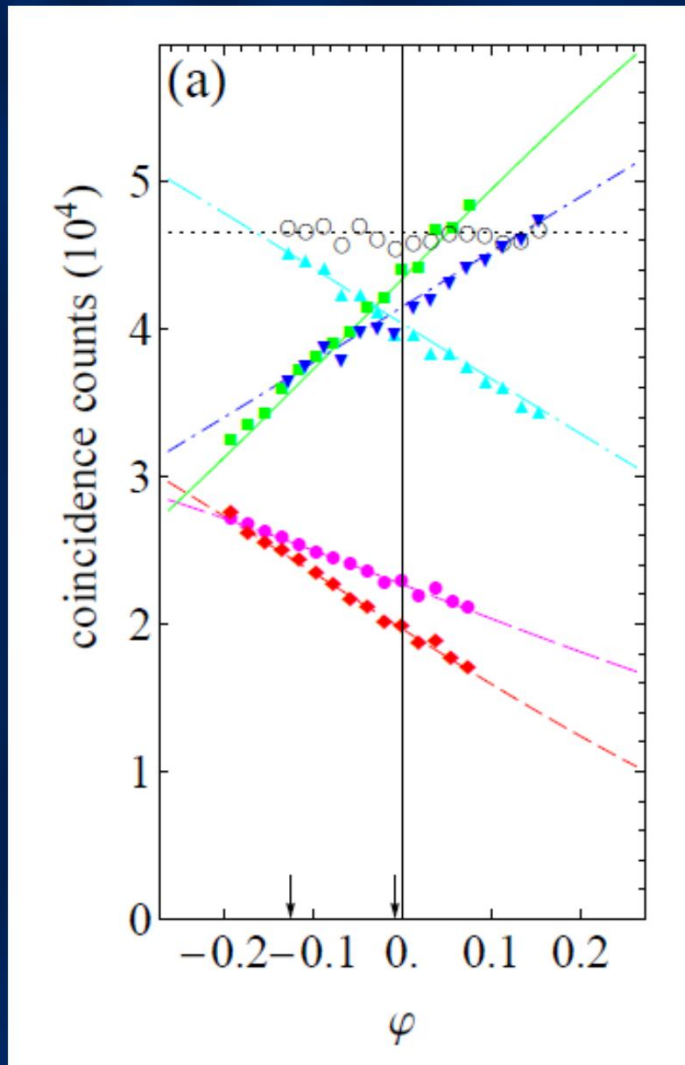


# Fringes

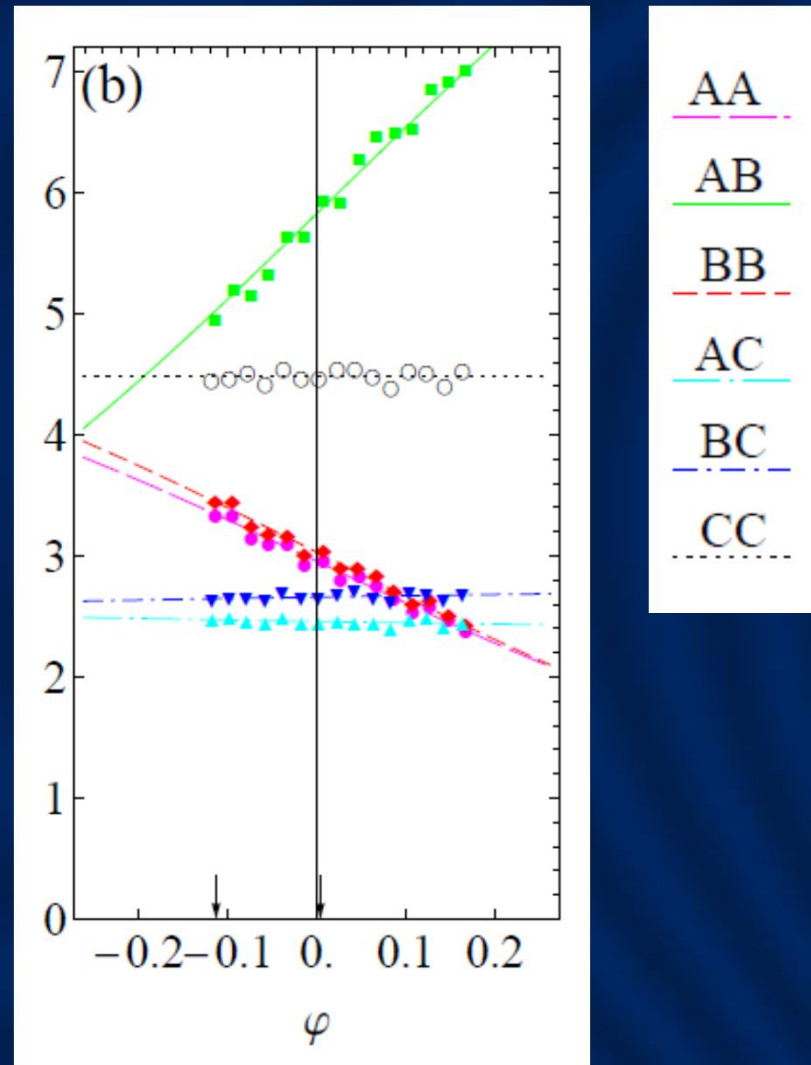


# Measurement results

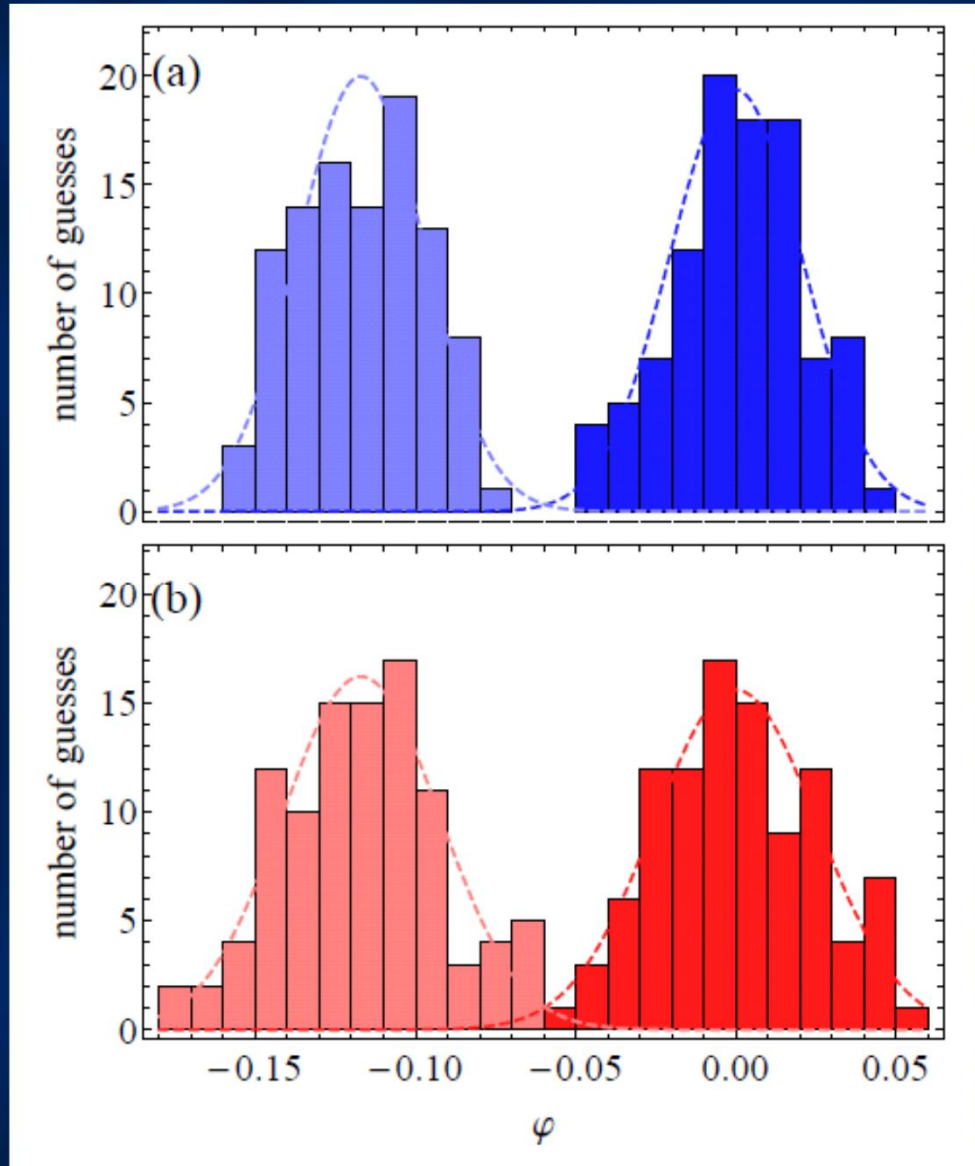
Optimal



2-photon NOON



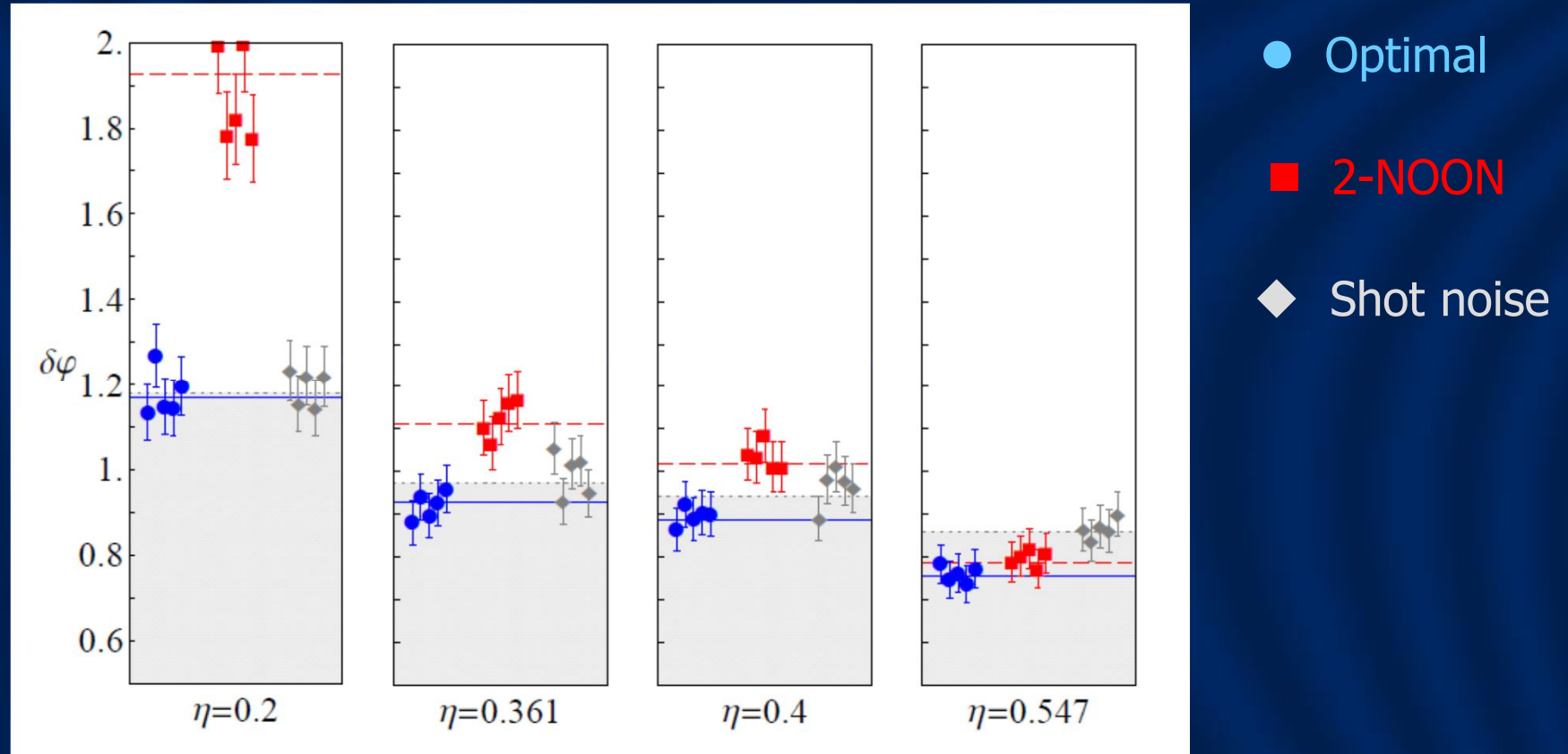
# Reconstructed phase



Optimal

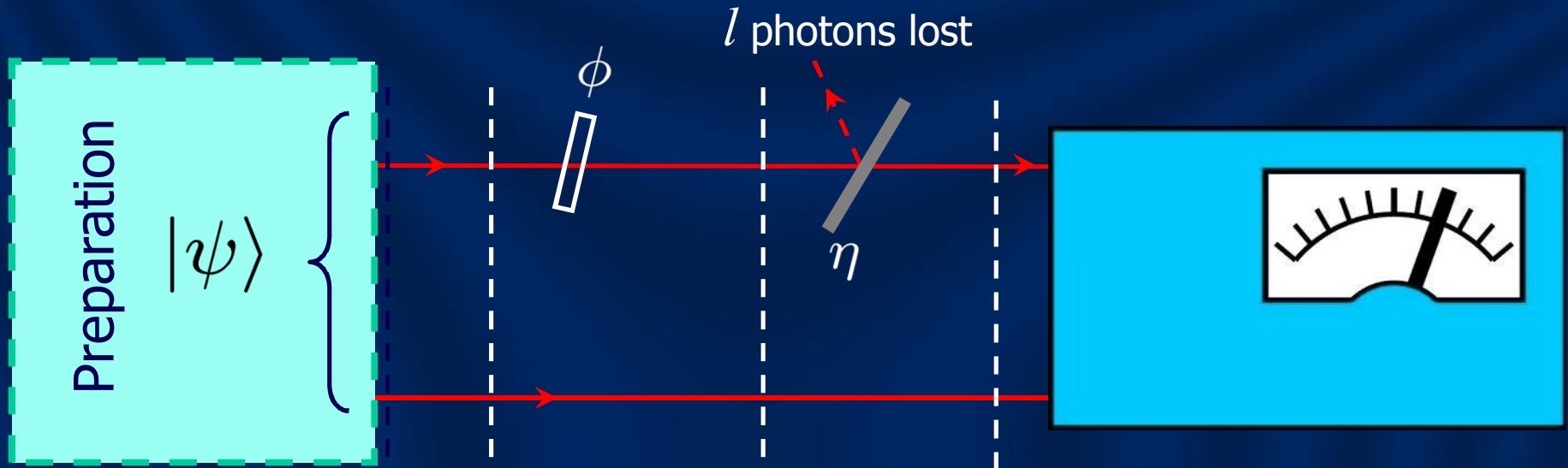
2-photon  
NOON

# Precision



M. Kacprowicz, R. Demkowicz-Dobrzański, W. Wasilewski, K. Banaszek,  
and I. A. Walmsley, Nature Photonics **4**, 357 (2010)

# General approach: one-arm losses

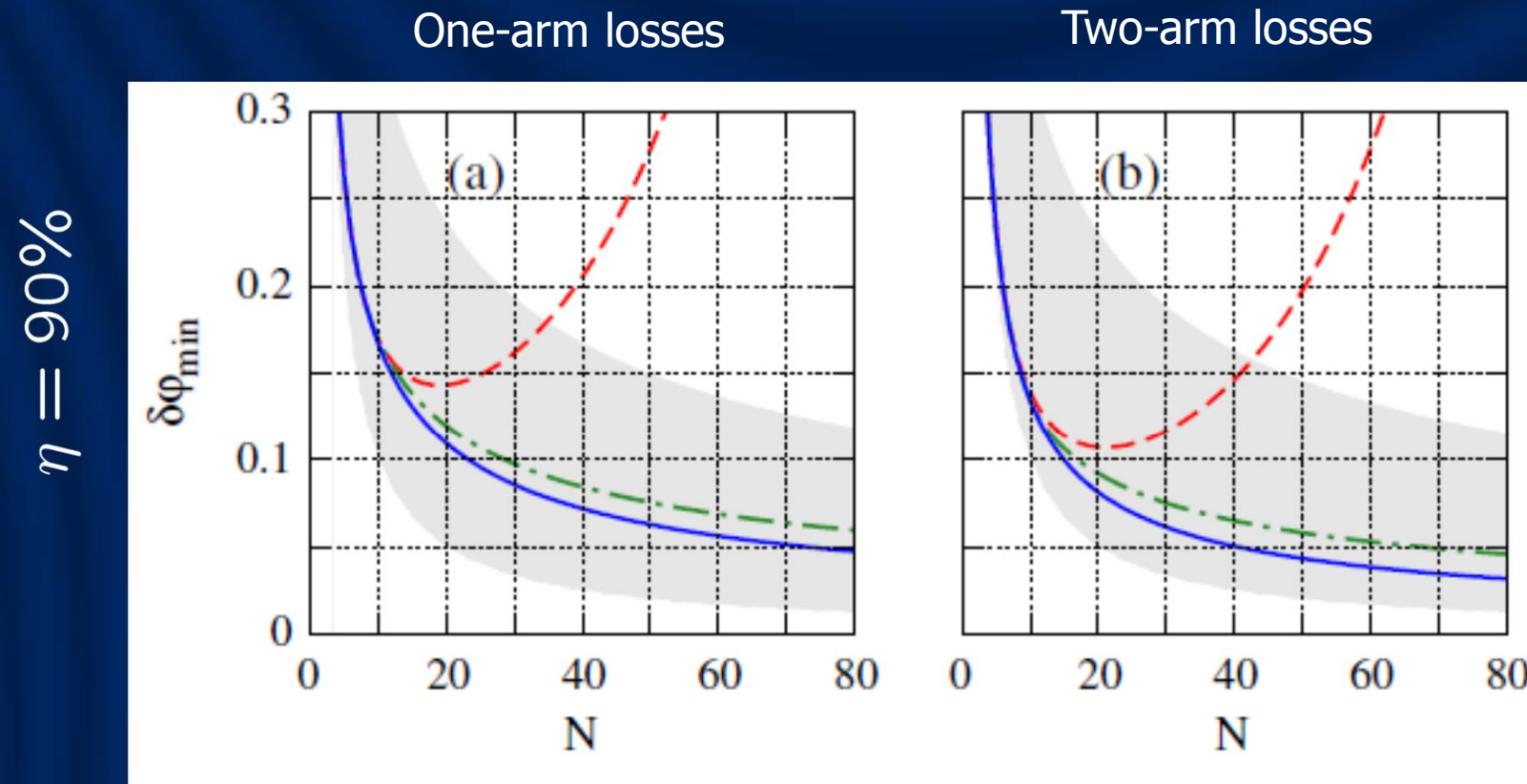


$$|\psi\rangle = \sum_{k=1}^N \alpha_k |k, N-k\rangle$$

$$|\psi(\phi)\rangle = \sum_{k=1}^N e^{ik\phi} \alpha_k |k, N-k\rangle$$

$$|\psi_l(\phi)\rangle = \sum_{k=1}^N e^{ik\phi} \alpha_k \sqrt{B_l^k(\eta)} |k-l, N-k\rangle$$

# Precision



— Optimal

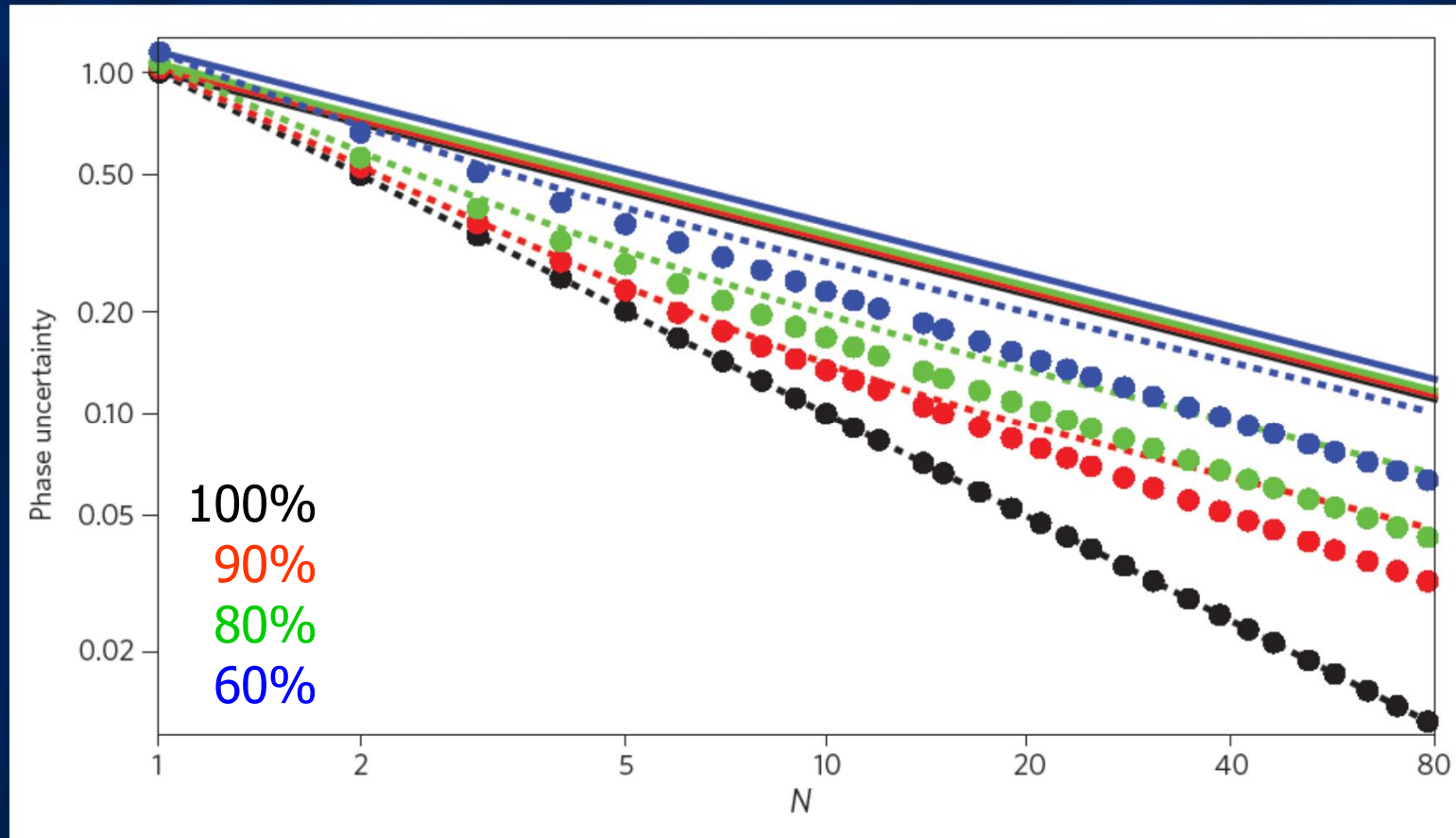
— Chopped n00n

— NOON state

U. Dorner, R. Demkowicz-Dobrzański *et al.*,  
Phys. Rev. Lett. **102**, 040403 (2009)

R. Demkowicz-Dobrzański, U. Dorner *et al.*,  
Phys. Rev. A **80**, 013825 (2009)

# Scaling



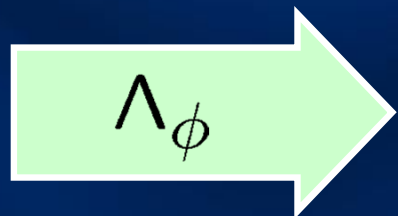
— shot  
noise    ······ quantum    ..... multipass

K. Banaszek, R. Demkowicz-Dobrzański, and I. A. Walmsley,  
*Quantum states made to measure*, Nature Photonics **3**, 673 (2009)

# General picture

---

Actual  
value  $\phi$

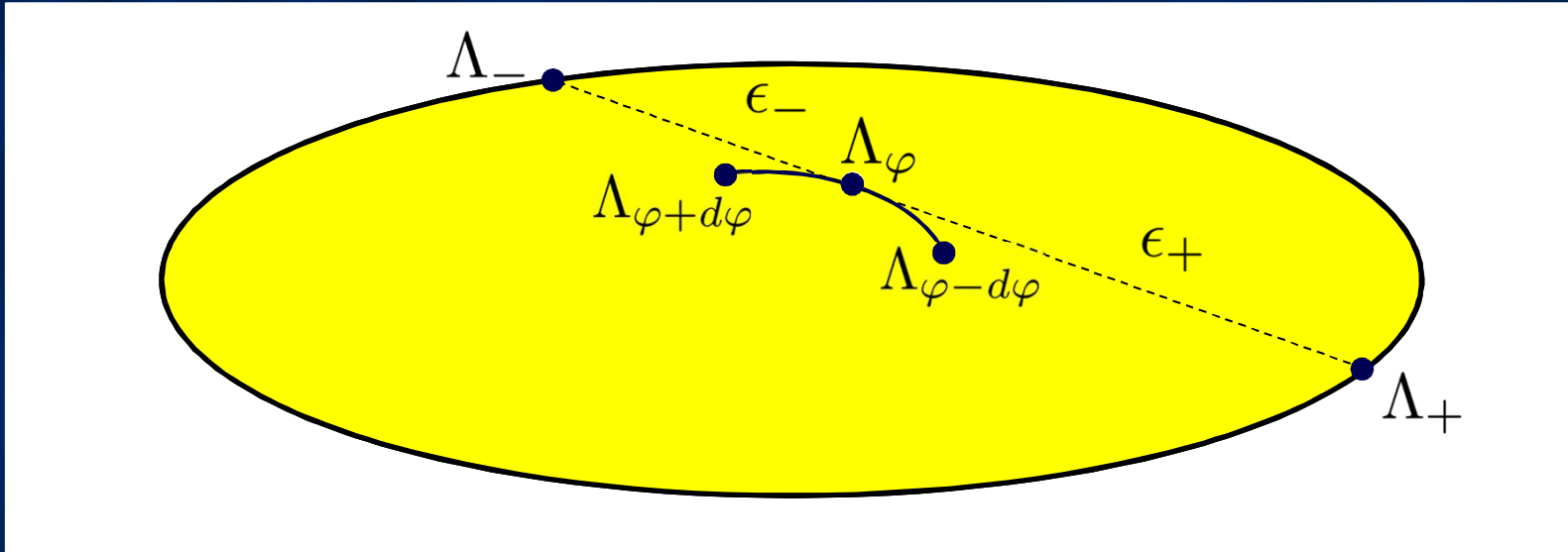


$$\hat{\varrho}_\phi = \Lambda_\phi(\hat{\varrho}_{\text{ini}})$$

Quantum Cramér-Rao bound using SLD:

$$F(\phi) \leq \text{Tr}(\hat{\varrho}_\phi \hat{L}_\phi^2), \quad \frac{\partial}{\partial \phi} \hat{\varrho}_\phi = \frac{1}{2} (\hat{L}_\phi \hat{\varrho}_\phi + \hat{\varrho}_\phi \hat{L}_\phi)$$

# Completely positive maps

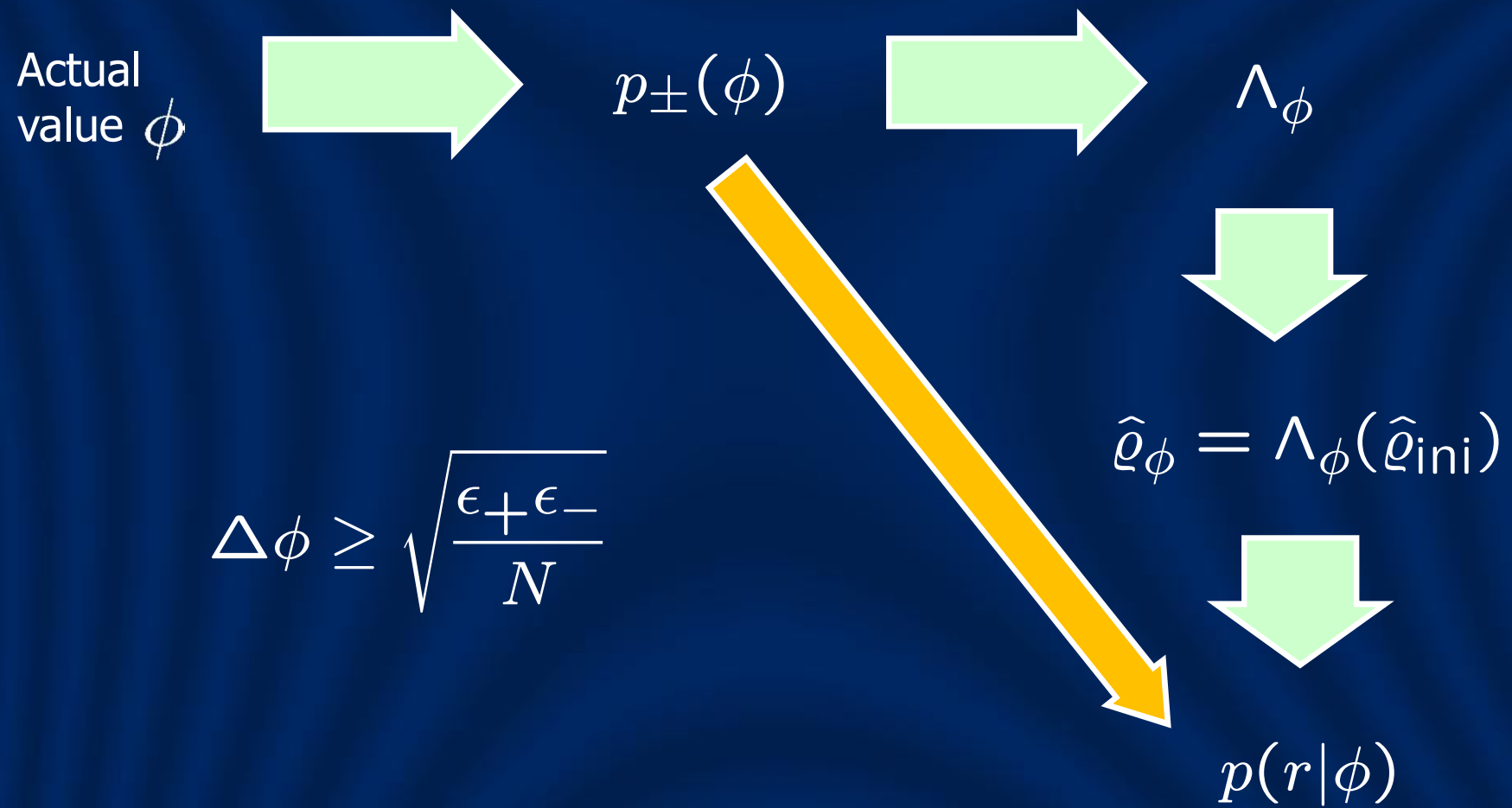


$$\Lambda_\phi = p_+(\phi)\Lambda_+ + p_-(\phi)\Lambda_- + \mathcal{O}((d\phi)^2)$$

Let  $\Lambda_\pm$  be extremal and “distances”  $\epsilon_\pm$  be defined through

$$\Lambda_\pm = \Lambda_\phi \pm \epsilon_\pm \partial_\phi \Lambda_\phi$$

# Classical simulation



R. Demkowicz-Dobrzański, J. Kołodyński,  
and M. Guć, Nature Comm. **3**, 1063 (2012)

# Specific channels

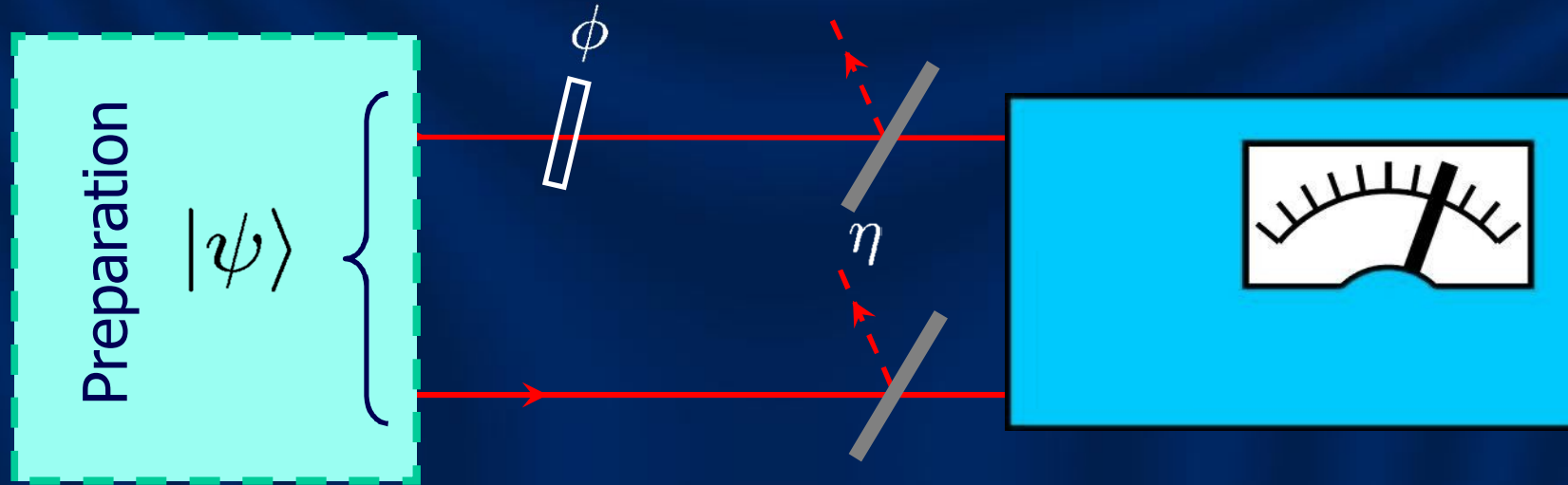
**Table 1 | Precision bounds of the most relevant models in quantum-enhanced metrology.**

Channel considered	Classical simulation	Channel extension
Depolarisation	$\sqrt{(1-\eta)(1+3\eta)/4\eta^2}$	$\sqrt{(1-\eta)(1+2\eta)/2\eta^2}$
Dephasing	$\sqrt{1-\eta^2/\eta}$	$\sqrt{1-\eta^2/\eta}$
Spontaneous emission	NA	$(1/2)\sqrt{1-\eta/\eta}$
Lossy interferometer	NA	$\sqrt{1-\eta/\eta}$

NA, not available.

The bounds are derived using the two methods discussed in the paper. All the bounds are of the form  $\Delta\varphi_N \geq (\text{const}/\sqrt{N})$ , where constant factors are given in the table. Classical simulation method does not provide bounds for spontaneous emission and lossy interferometer, as these channels are  $\varphi$ -extremal. For the dephasing model, it surprisingly yields an equally tight bound as the more powerful channel extension method.

# Asymptotic scaling



When  $N$  photons are used:

$$F \leq \frac{\eta N}{1 - \eta}$$

$$\Delta\tilde{\phi} \geq \sqrt{\frac{1 - \eta}{\eta N}}$$

Theoretical toolbox:

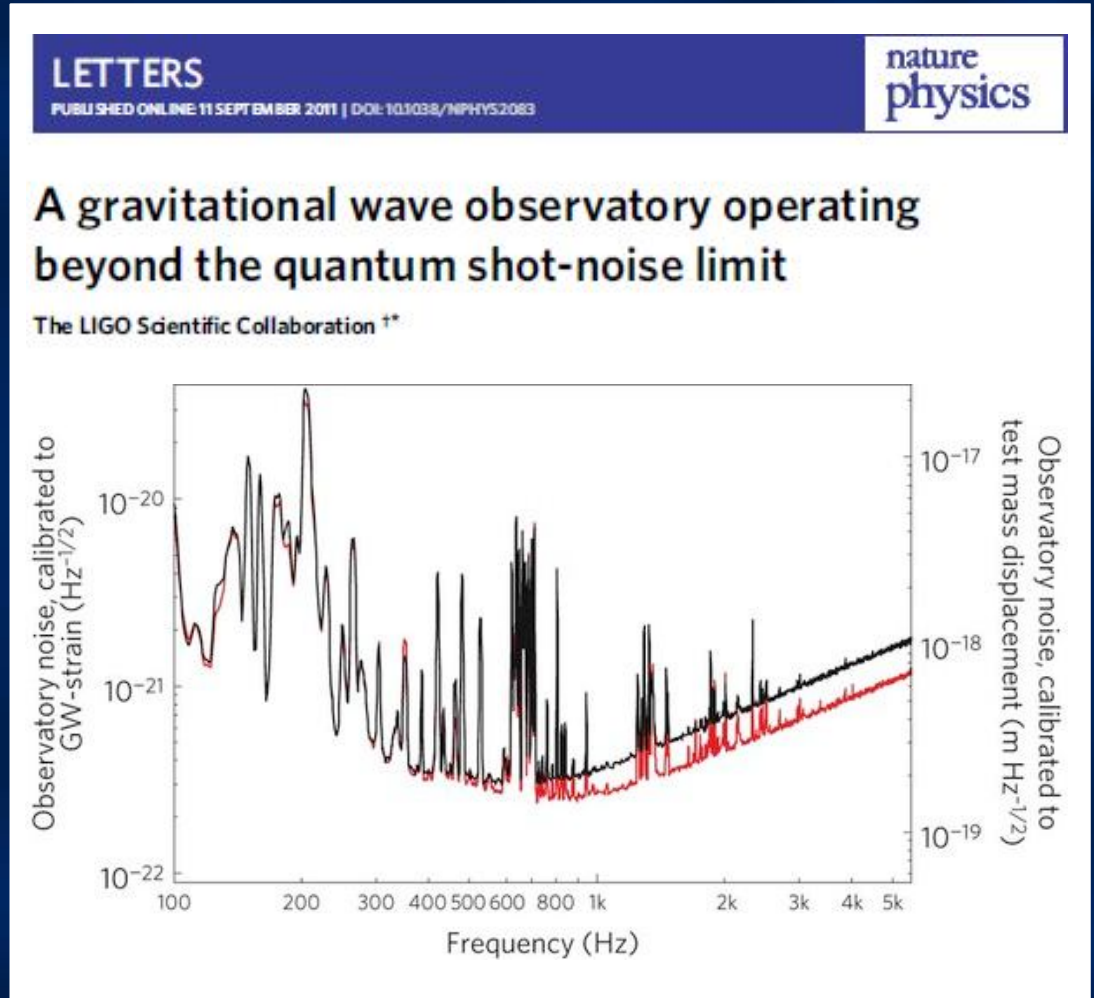
J. Kołodyński and R. Demkowicz-Dobrzański, New J. Phys. **15**, 073043 (2013)

# Gravitational wave detection



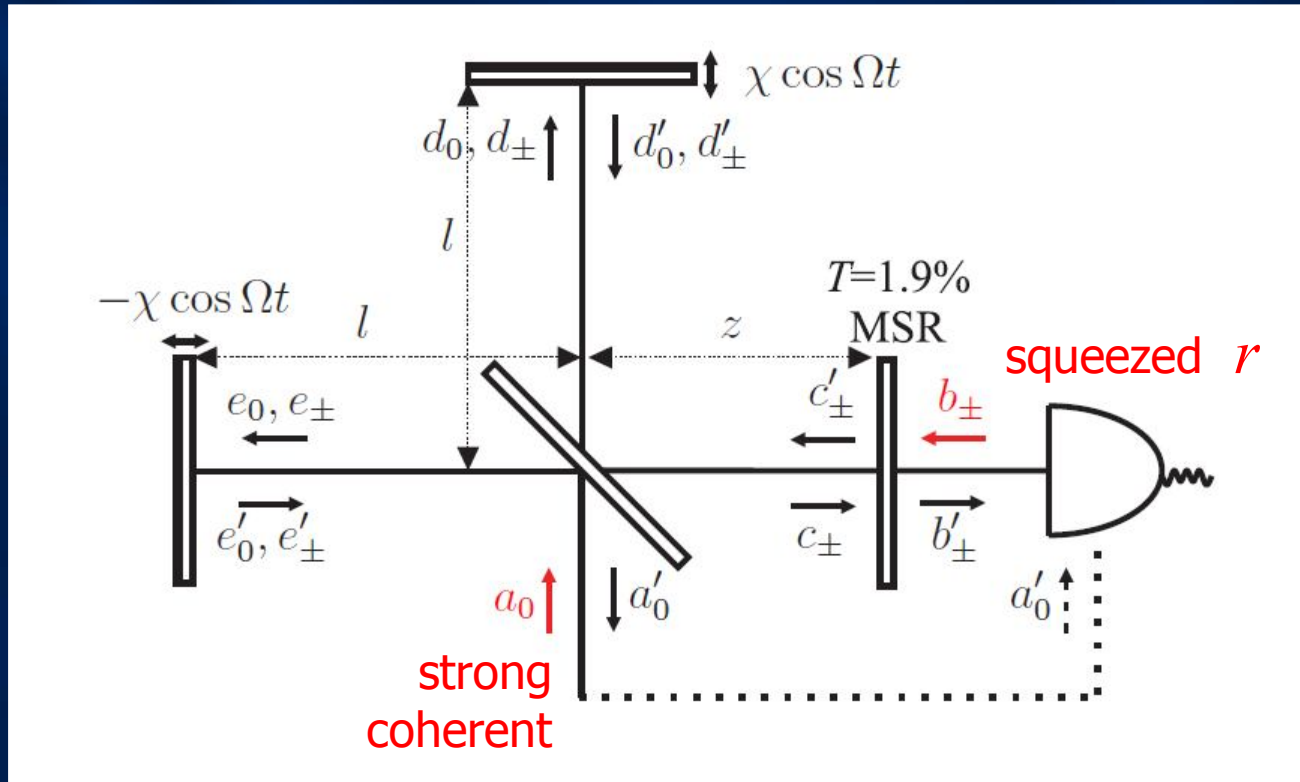
GEO600 Experiment

$$\frac{\Delta \tilde{\phi}_{\text{squeezed}}}{\Delta \tilde{\phi}_{\text{standard}}} \approx 0.66$$



J. Abadie *et al.* (The LIGO Scientific Collaboration), Nature Phys. **7**, 962 (2011)

# Model



When power is carried dominantly  
by the coherent field

$$\Delta \tilde{\phi} = \sqrt{\frac{1 - \eta + \eta e^{-2r}}{\eta \langle N \rangle}}$$

# Undefined photon number

When no external phase is used:

$$\hat{\rho} = \bigoplus_{N=0}^{\infty} p_N \hat{\rho}_N$$

Convexity of Fisher information:

$$F(\hat{\rho}) \leq \sum_{N=0}^{\infty} p_N F(\hat{\rho}_N)$$

Bound for the fixed photon number:

$$\leq \sum_{N=0}^{\infty} p_N \frac{\eta N}{1 - \eta} = \frac{\eta \langle N \rangle}{1 - \eta}$$

General limit:

$$\Delta \tilde{\phi} \geq \sqrt{\frac{1 - \eta}{\eta \langle N \rangle}}$$

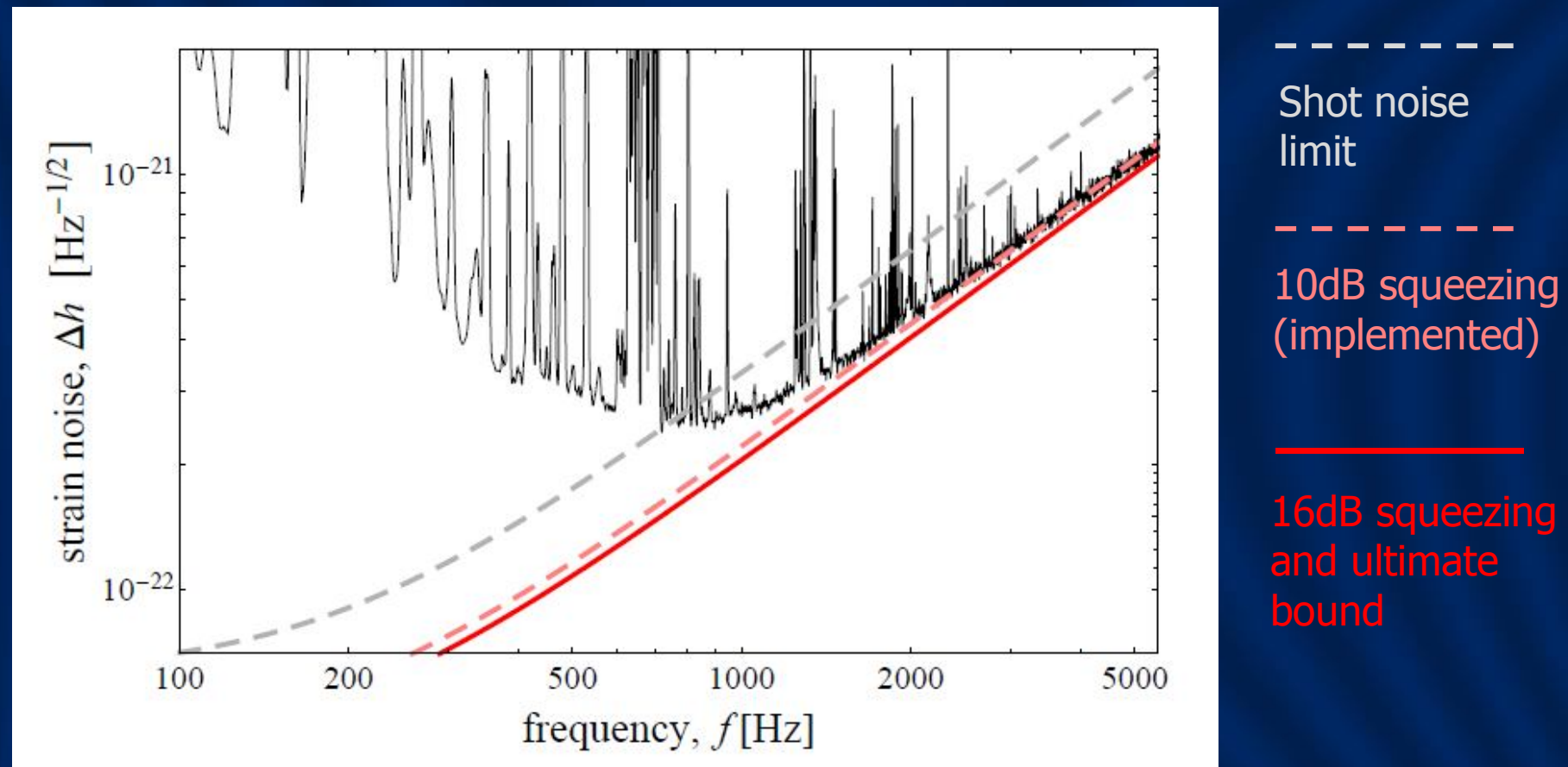
Squeezed scheme:

$$\Delta \tilde{\phi} = \sqrt{\frac{1 - \eta + \eta e^{-2r}}{\eta \langle N \rangle}}$$

Saturates if  $e^{-2r} \ll (1 - \eta)/\eta$

# Result

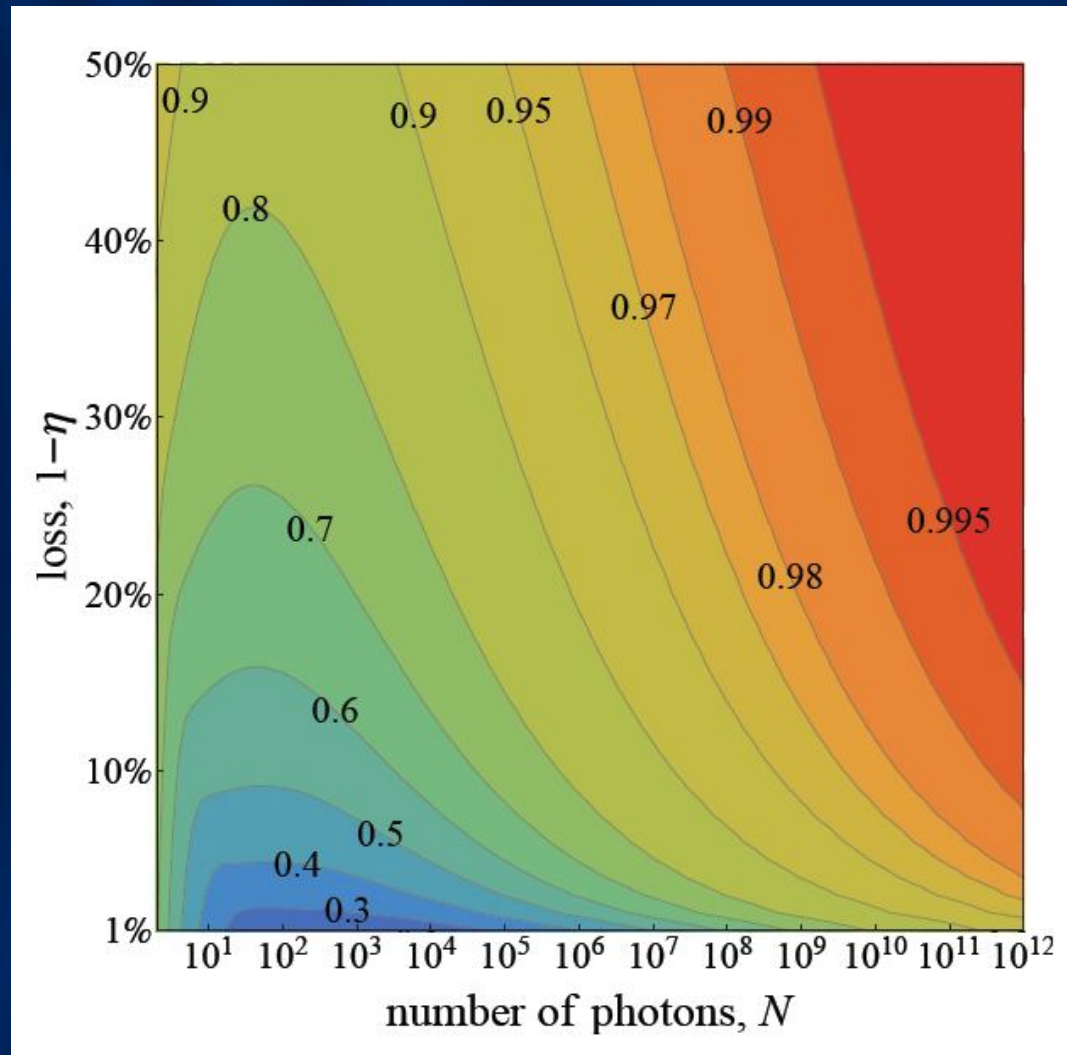
R. Demkowicz-Dobrzański, K. Banaszek, and R. Schnabel,  
Phys. Rev. A **88**, 041802(R) (2013)



Assumed uniform transmission  $\eta = 62\%$

# Optimality of squeezed states

R. Demkowicz-Dobrzański, K. Banaszek, and R. Schnabel,  
Phys. Rev. A **88**, 041802(R) (2013)



$$\frac{\Delta\phi_{\text{optimal}}}{\Delta\phi_{\text{squeezed}}}$$

# Outlook

---

*Either...*

- ideal single-photon sources
- deterministic state preparation
- quantum non-demolition measurements
- 100% efficient detectors

*... or ...*

- imperfection-tolerant schemes
- ... or ...*
- a combination of the above

*Resources:*

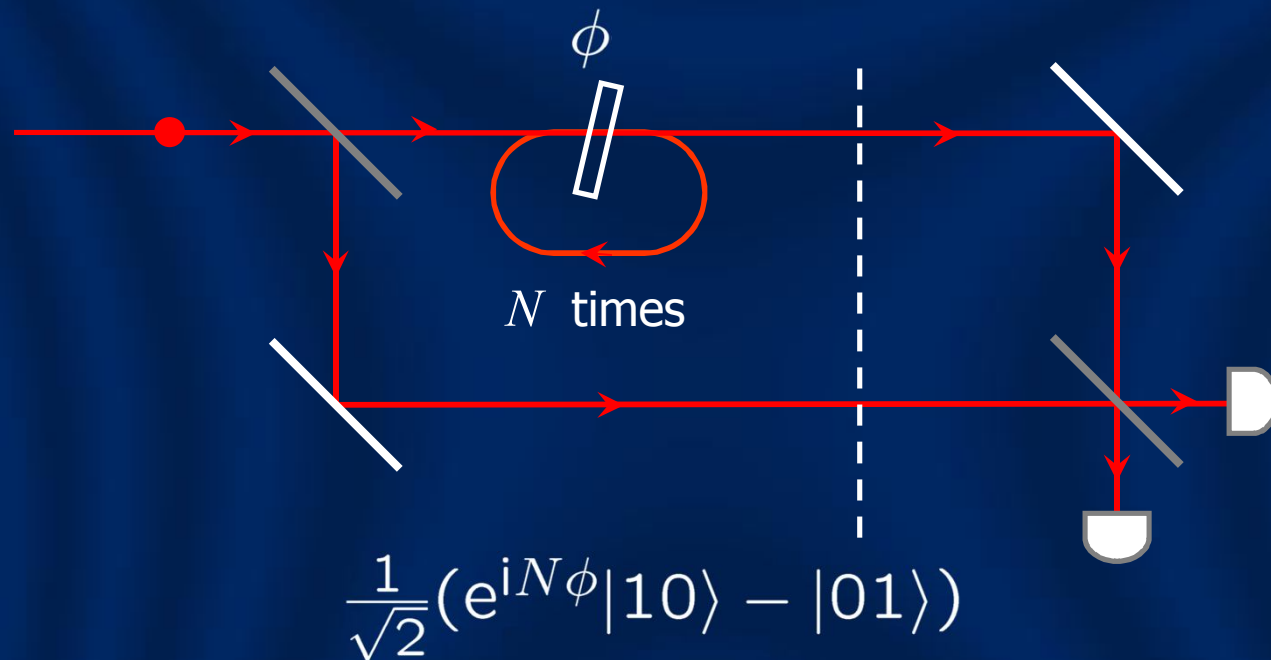
- total amount of light used
- number of photons sent through the sample
- passes through the sample
- external phase reference

*Performance:*

- statistical uncertainty
- resolution
- ...?

# Multipass strategy

Inspired by B. L. Higgins *et al.*, Nature **450**, 393 (2007)



- The acquired phase exhibits Heisenberg-type scaling
- Sensitivity to losses is analogous as for N00N states!